

Х международная конференция им. В.В. Воеводского

Targeted design of polyfunctional materials for spintronics and molecular electronics

академик РАН С.М. Алдошин

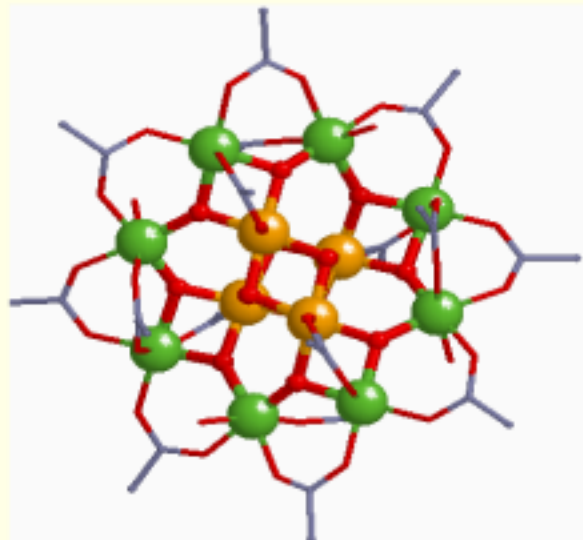
Институт проблем химической физики РАН, г.Черноголовка

05 - 09 сентября 2022 год

От молекулярного магнетизма и металлической спинtronики к молекулярной спинtronике и квантовому компьютерингу

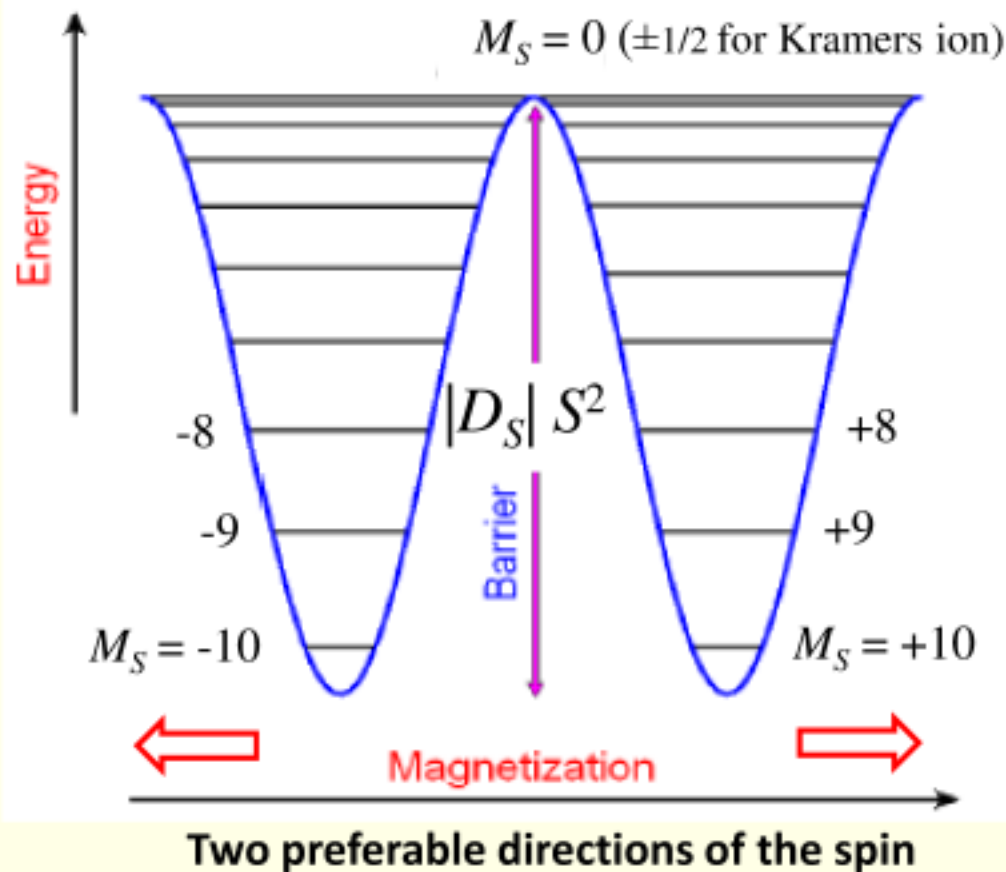


Single Molecule Magnets (SMM's): bistable molecular magnetic units



SMMs require applied field to invert their magnetization direction below blocking temperature

Bistability (SMM) stems from large spin [$S = 10$] and **negative magnetic anisotropy** corresponding to the “**easy axis**” of magnetization



The ground state is double degenerate

$$U_{\text{eff}} = |D_S| S^2 - \text{spin-reversal barrier}$$

$$U_{\text{eff}} = |D_s| (S^2 - 1/4) \text{ for Kramers systems (half-integer spin)}$$

$$U_{\text{eff}} \neq \text{ZFS magnitude}$$

General spin Hamiltonian

$$\hat{H} = -2J \sum_{i < j} \hat{\mathbf{S}}(i) \hat{\mathbf{S}}(j) + \sum_i \hat{\mathbf{S}}(i) \mathbf{D}_i \hat{\mathbf{S}}(i) + \mu_B \sum_i \mathbf{H} \mathbf{g}_i \hat{\mathbf{S}}(i)$$



Exchange coupling operator

(stabilizes the state of cluster with the total spin S)



Zero field splitting (ZFS) operator

(single ion anisotropy)



Operator of Zeeman interaction



Effective spin Hamiltonian acting within the basis of the ground S -multiplet (ZFS)

$$\hat{H}_S = D_S \left[\hat{S}_Z^2 - \frac{1}{3} S(S+1) \right] + E_S \left(\hat{S}_X^2 - \hat{S}_Y^2 \right) + \mu_B \mathbf{H} \mathbf{g}_S \hat{\mathbf{S}}$$

D_S, E_S are axial and transverse/rhombic ZFS parameters



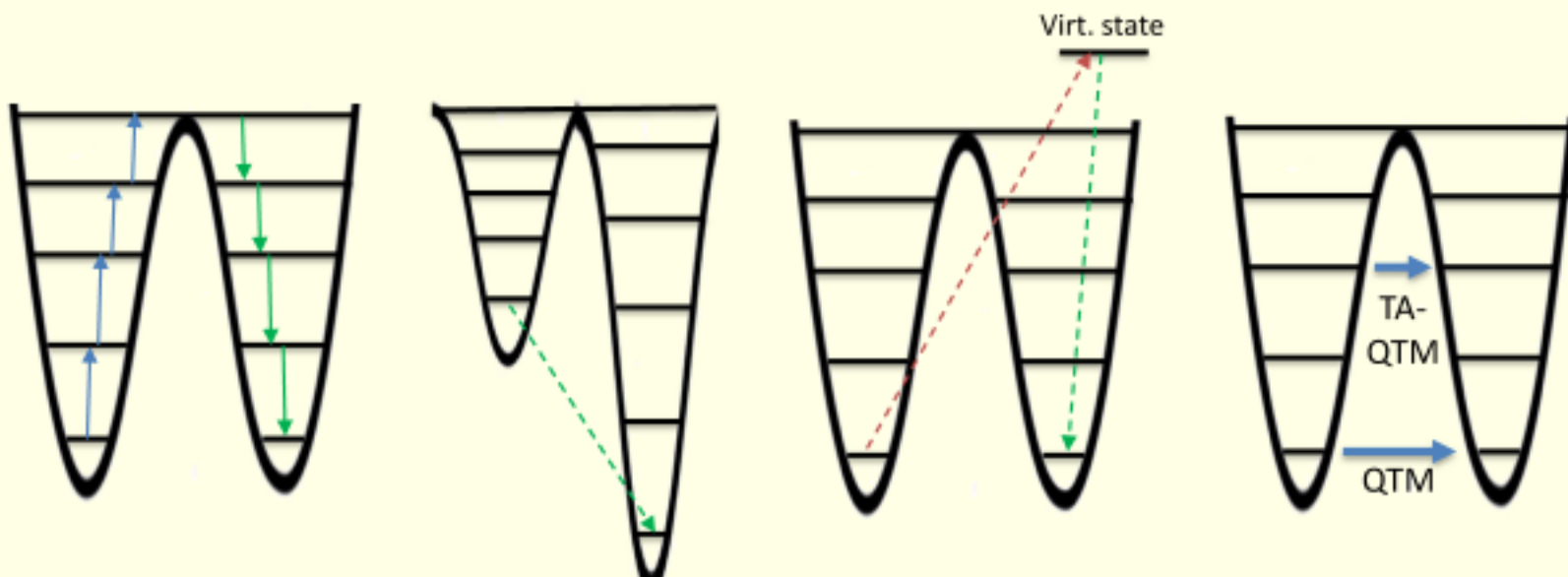
Axial anisotropy



Rhombic anisotropy

Magnetization relaxation mechanism

Orbach	Direct (one-phonon)	Raman (two-phonon)	(TA-)Quantum Tunneling (QTM)
--------	------------------------	-----------------------	---------------------------------



$$\tau = \tau_0 e^{\frac{U_{eff}}{kT}}$$

$$\tau^{-1} \sim H_{DC}^2 T$$

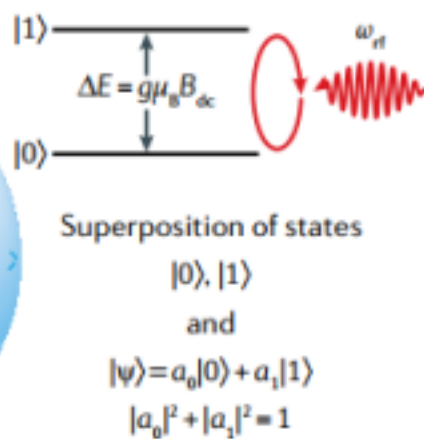
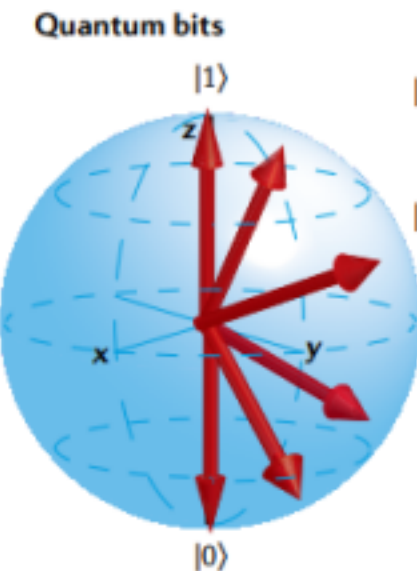
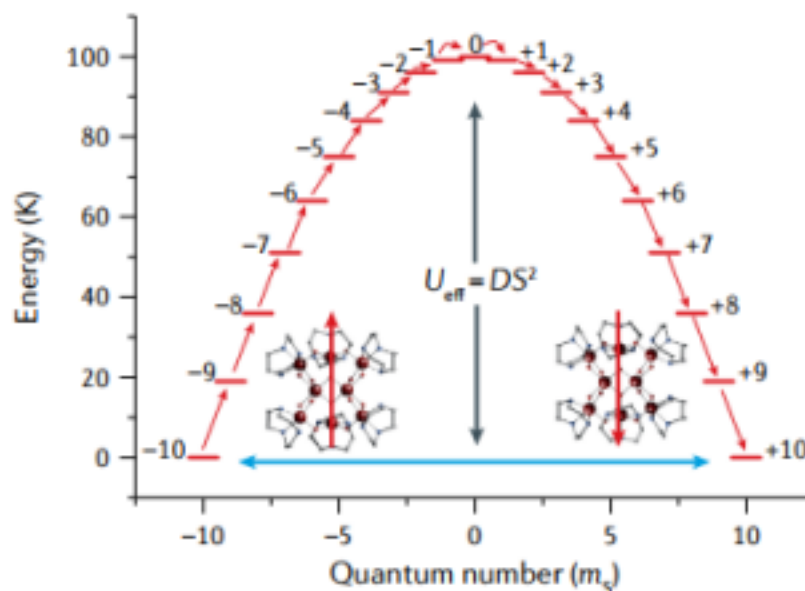
$$\tau^{-1} \sim C T^n$$

QTM - Temperature
independent

$$\tau^{-1} = \underbrace{\frac{B_1}{1 + B_2 H^2}}_{\text{QTM}} + \underbrace{A H^{n_1} T}_{\text{direct}} + \underbrace{C T^{n_2}}_{\text{Raman}} + \underbrace{\tau_0^{-1} \exp\left(-\frac{\Delta_{CF}}{k_B T}\right)}_{\text{Orbach}}$$

SMMs for quantum sensing, simulation, computing and spintronics.

E. Moreno- Pineda, W. Wernsdorfer. Tech. Reviews, DOI: 10.1038/s42254-021-00340-3



Requirement for qubits

DiVincenzo criteria

- Scalable, well-defined quantum system
- Initialization of the qubit
- Long coherence time T_2
- Universal quantum gates
- Readout
- Interconversion between stationary and dynamic qubits
- Exact transmission of flying qubits

Techniques to study SMMs in bulk

Superconducting quantum interference device (SQUID) magnetometry, electron paramagnetic resonance (EPR) spectroscopy, inelastic neutron scattering (INS) and X-ray spectroscopies.

Nuclear magnetic resonance, muon spin (μ -SR) and Mössbauer spectroscopies.

Techniques that permit the detailed investigation of isolated SMMs:

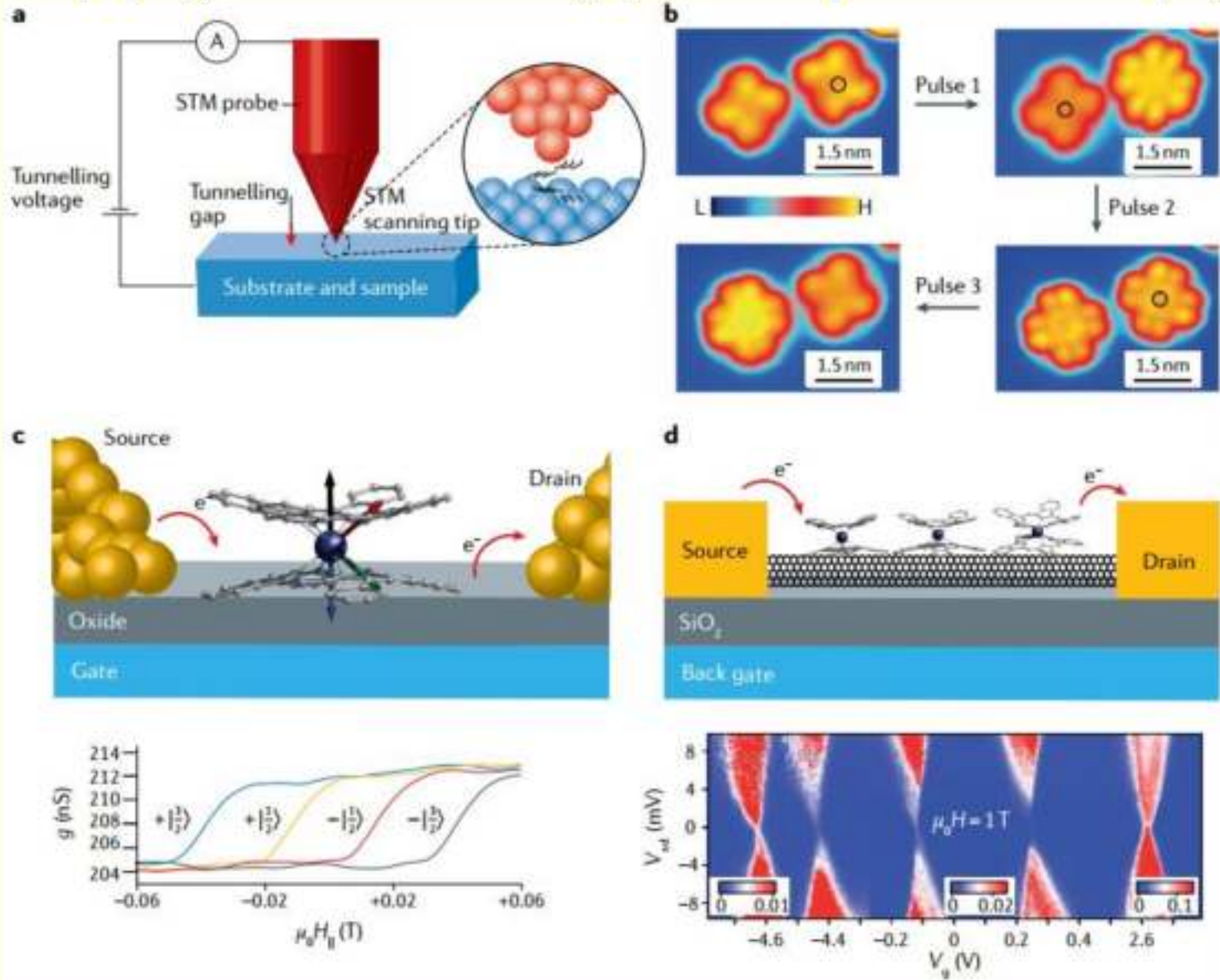
STM, transistors, optospintronics and spin valves devices.



Theoretical Background

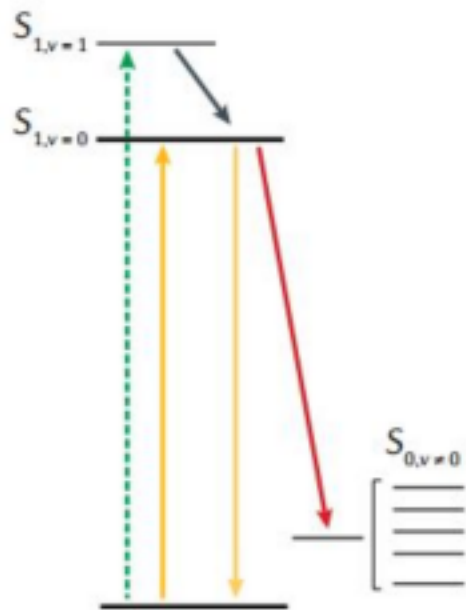
SA-CASSCF (state-averaged complete active space self-consistent field) methods post-Hartree–Fock multi-reference calculations such as CASSCF/NEVPT2 (N-electron valence perturbation theory second-order)/CASPT2 (complete active space second-order perturbation)/MRCI (multi-reference configuration interaction)/DMRG (density matrix renormalisation group)

STN (a,b), transistors (c) and spin-valves (d).

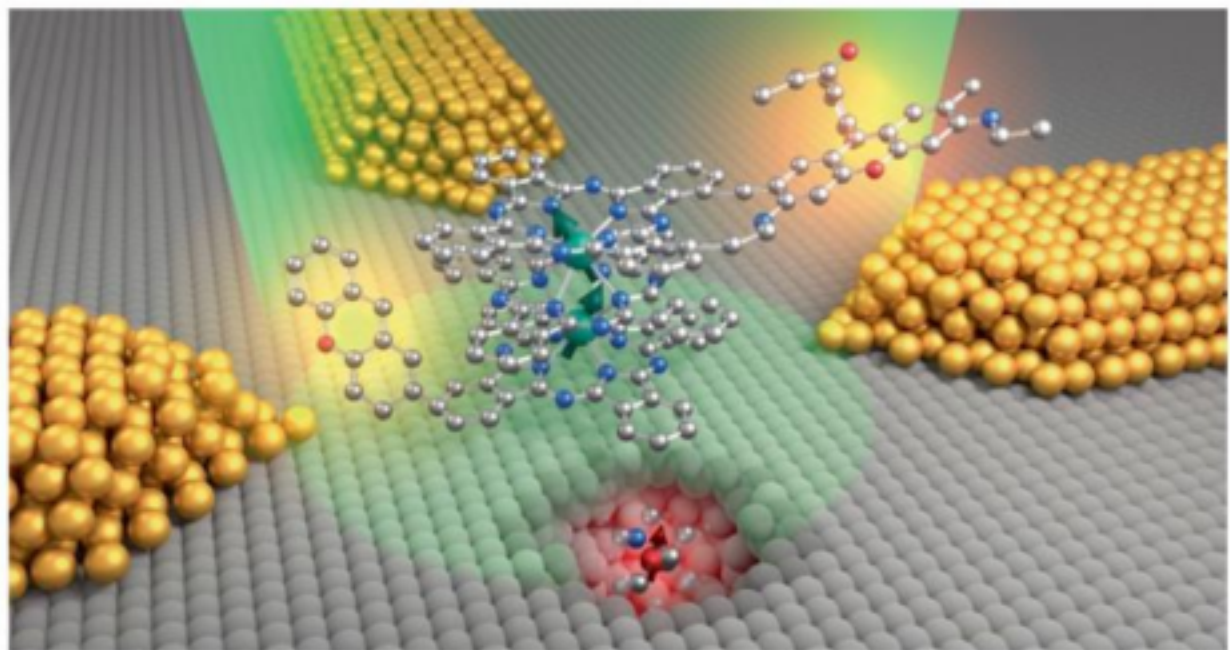


Optospintrronics

a



b



Институт
физики
металлов УрО
РАН

Дальневосточ-ный
Федеральный
университет

Center for Memory
and Recording
Research, США
California

The University of
Manchester (UK)

Institut Jean
Lamour, Université
de Lorraine, Nancy,
France

МФТИ +
Сколтех

Институт
физики
микроструктур РАН

**Фундаментальные основы
спиновых технологий и
направленного
конструирования «умных»
полифункциональных
материалов для спинtronики
и молекулярной электроники
(ИПХФ РАН, ИОНХ РАН,
МТЦ СО РАН, ИФХЭ РАН,
ЮФУ)**

Daegu
Gyeongbuk
Institute of
Science and
Technology
(DGIST)

Texas A&M
University (USA)

Institute of
Molecular Science
at University of
Valencia (Spain)

Beijing
National
Laboratory for
Molecular
Sciences

ИТМО

ИНЭОС РАН

Centre de
Recherche Paul
Pascal UMR
CNRS, FRANCE
(Клерак)

University of
Basel
(Switzerland)

Karlsruhe
Institut für
Technologie
(Germany)

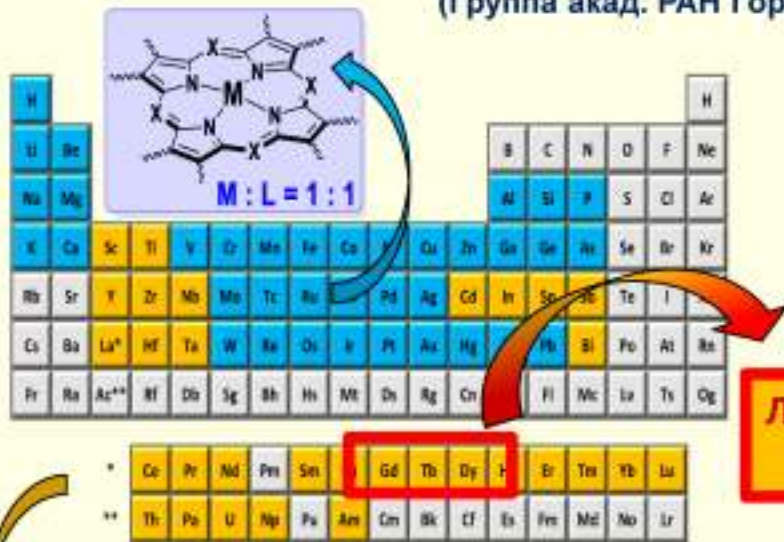
Крокус
nanoэлектроника

Ben-Gurion
University of the
Negev, Israel

State Key Laboratory of
Rare Earth Materials
Chemistry and
Applications, College of
Chemistry and Molecular
Engineering, Peking
University, Beijing

ВКЛАД НАПРАВЛЕНИЯ В РАБОТУ КОНСОРЦИУМА «Фундаментальные основы спиновых технологий и направленного конструирования «умных» полифункциональных материалов для спинтроники и молекулярной электроники»

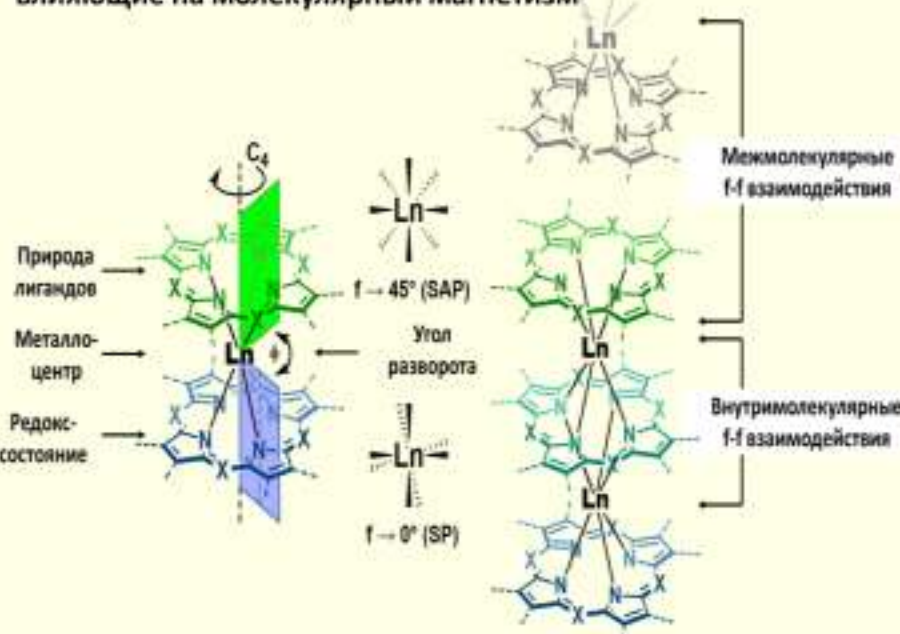
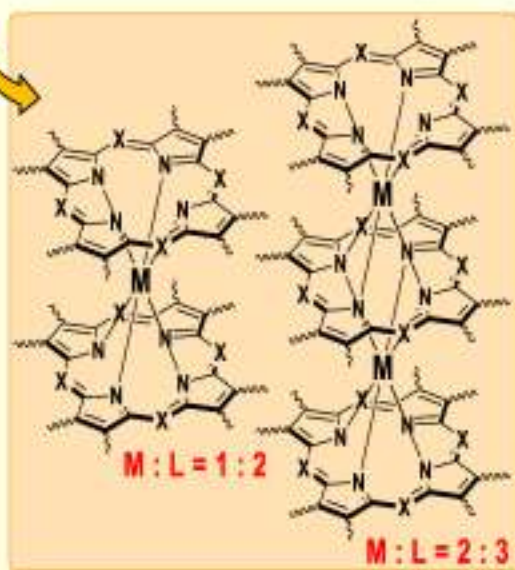
(Группа акад. РАН Горбуновой Ю.Г., ИФХЭ РАН и д.х.н. Конарева Д.В., ИПХФ РАН)



- Высокие барьеры релаксации намагниченности
- Относительно простой синтез
- Стабильность по отношению к окружающей среде (воздуху и влаге)
- Высокой растворимостью в органических растворителях
- Возможность получения гибридных материалов для спинтроники

Лантаниды, образующие сэндвичевые фталоцианинаты со свойствами молекулярных магнетиков

- Структурные и электронные факторы, влияющие на молекулярный магнетизм

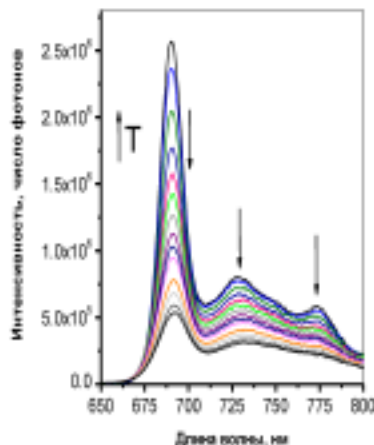
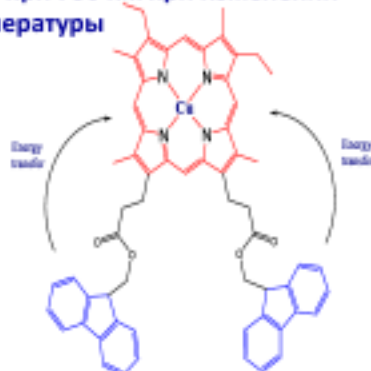


ОТЧЕТ О НАУЧНО-ИССЛЕДОВАТЕЛЬСКОЙ РАБОТЕ
«Фундаментальные основы спиновых технологий и направленного конструирования «умных»
полифункциональных материалов для спинтроники и молекулярной электроники»
ИФХЭ РАН (группа к.х.н. Чернядьева А.Ю. и д.ф-м.н. Тамеева А.Р.)

**НАИБОЛЕЕ ЗНАЧИМЫЕ
ДОСТИГНУТЫЕ РЕЗУЛЬТАТЫ**

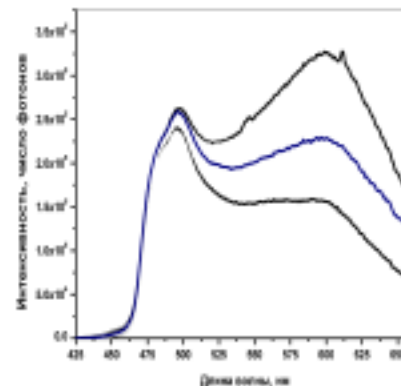
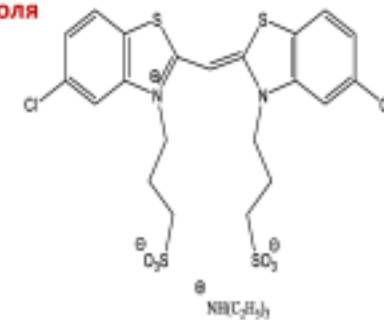
- 1. Получены новые флуорен-замещенные мезопорфиринаты меди(II), проведен анализ люминесцентных свойств комплексов в пленках полистирола. Установлено, что комплексы обладают свойствами люминесцентных сенсоров температуры по изменению соотношения интенсивности переходов фосфоресценции при 695 нм и при 730 нм.
- 2. Установлено, что drop-casted пленка цианинового красителя обладает магнетосенсорными свойствами по изменению соотношения интенсивности переходов эмиссии при 497 нм и при 601 нм.

1. Люминесцентные сенсоры температуры на основе порфиринатов меди ($T = 77\text{-}298\text{K}$), у которых изменяется соотношение интенсивности полос эмиссии при 695 нм и при 730 нм при изменении температуры



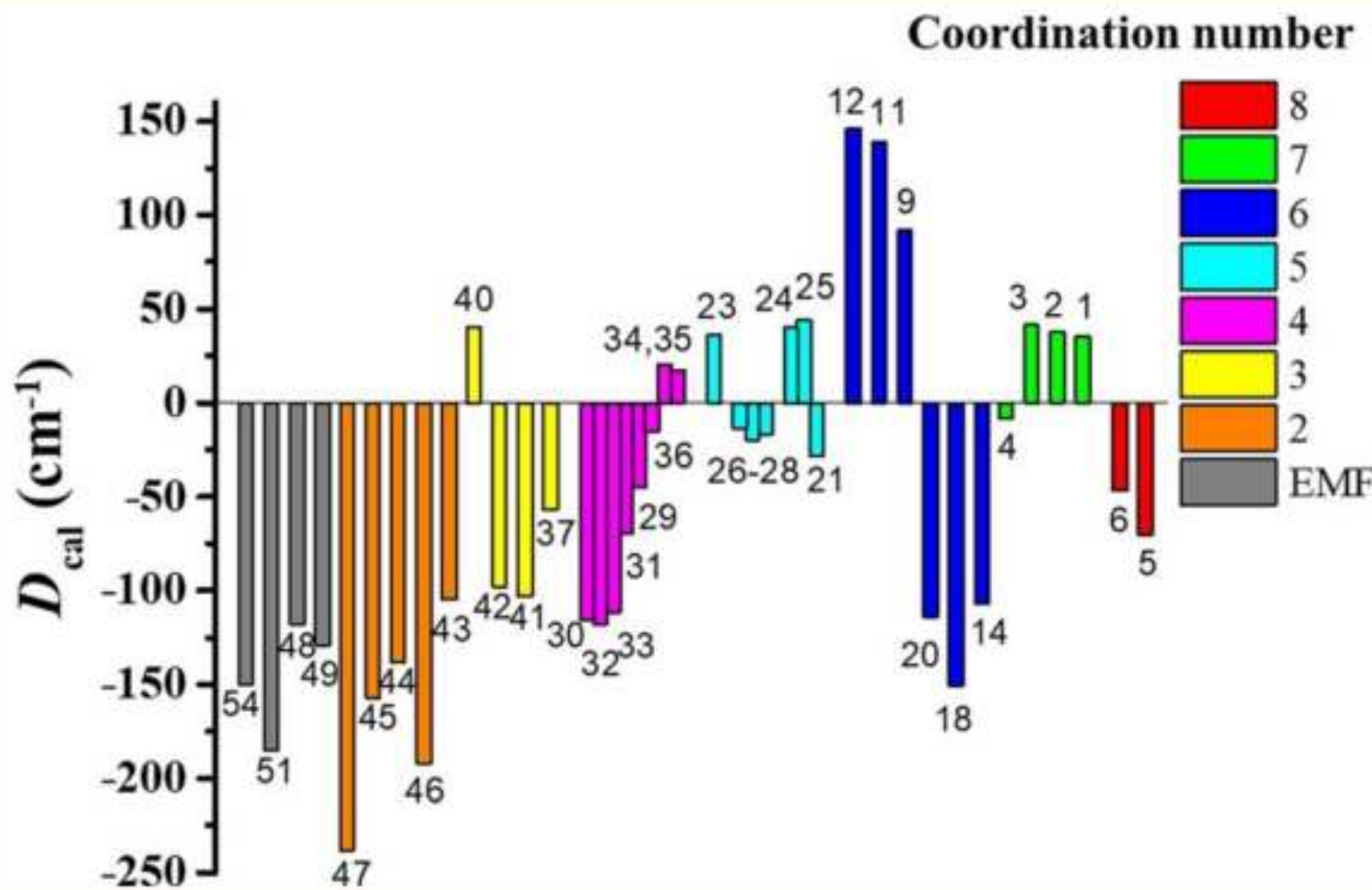
Изменение спектров люминесценции при варьировании температуры от 77 К (верхняя кривая) до 298К (нижняя кривая)

2. Пленка цианинового красителя, нанесенная на кварцевую подложку методом drop-casting, которая обратимо изменяет люминесцентные свойства (соотношение интенсивности переходов эмиссии при 497 нм и при 601 нм) при изменении напряженности внешнего магнитного поля

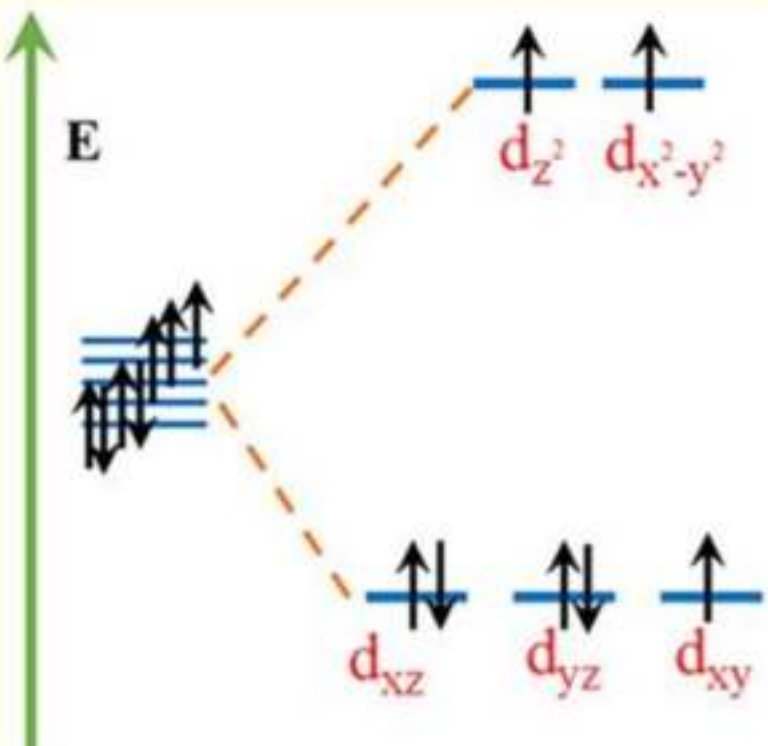


Изменение спектров люминесценции при варьировании напряженности магнитного поля от естественного поля Земли (верхняя кривая) до 0.3 Тл (нижняя кривая), 0.15 Тл (кривая синего цвета)

Role of Coordination Number and Geometry in Controlling the Magnetic Anisotropy in Coll Single-Ion Magnets

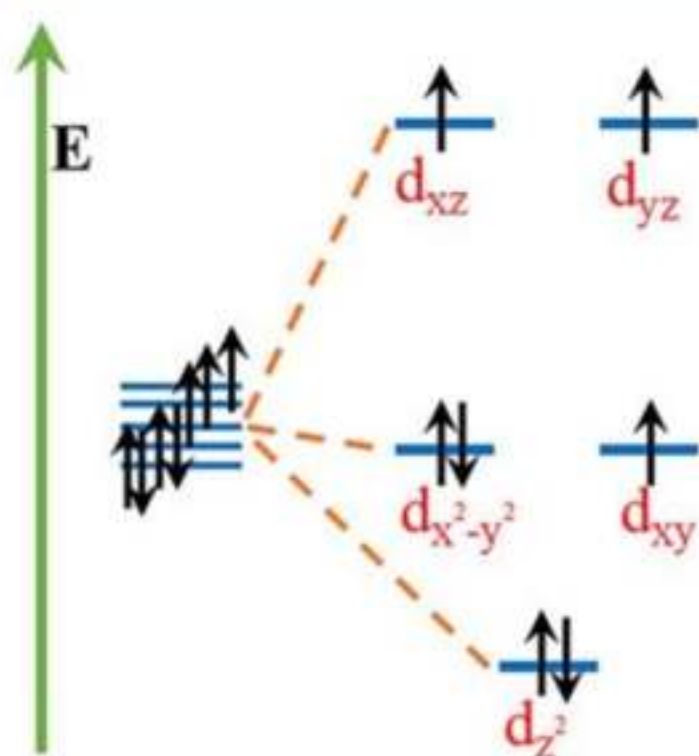


Six-coordinate Co(II) SIM



Ideal O_h

a)

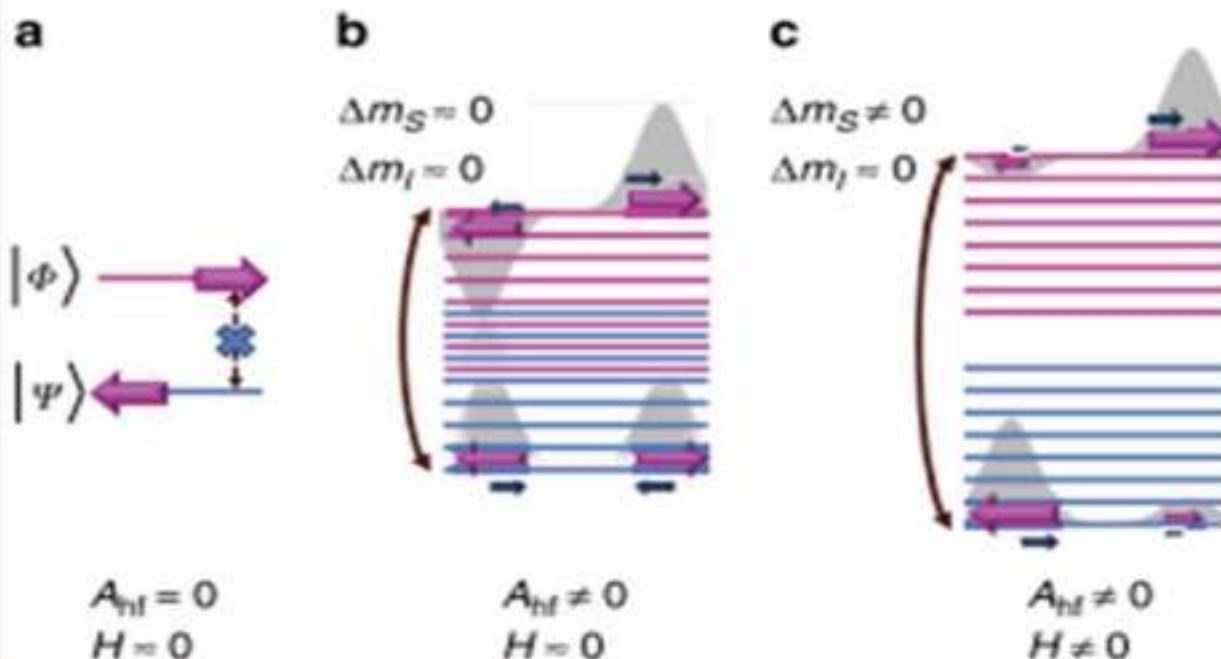


Ideal TAP and TP

b)

Influence of Kramers degeneracy on spin-phonon relaxation

Hyperfine interaction with $I=7/2$



Slow relaxation at applied DC field occurs independently of the sign of the magnetic anisotropy

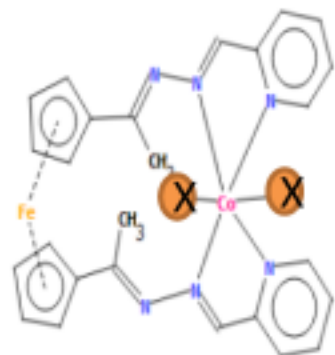
Factors playing the important role in the relaxation:

- 1) Kramers character of the Co(II) ion and hence Van-Vleck cancellation;
- 2) Hyperfine interaction

Phonon-induced transitions between states of an electronic Kramers doublet.

- (a) Direct transitions induced by phonons are forbidden (van Vleck cancellation)
- (b) The hyperfine coupling to a nuclear spin breaks down Kramers degeneracy and allows some phonon-induced transitions
- (c) The Zeeman interaction splits further the levels, making transitions detectable by magnetic susceptibility measurements

Field-induced SIM behaviour of a Co(II) complex with a 1,1'-diacetylferrocene-derived ligand



X = Cl (**1**), Br (**2**), NO₃ (**3**), NCS (**4**)

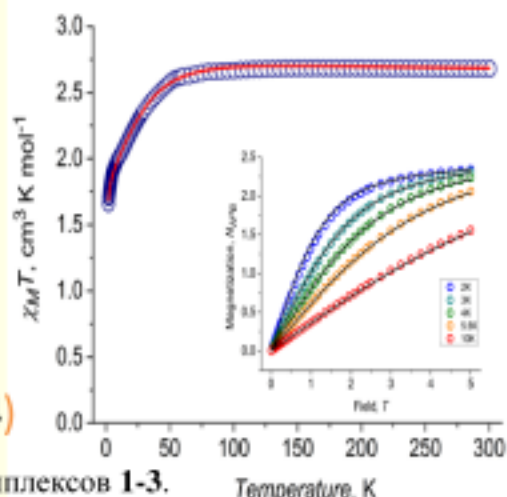
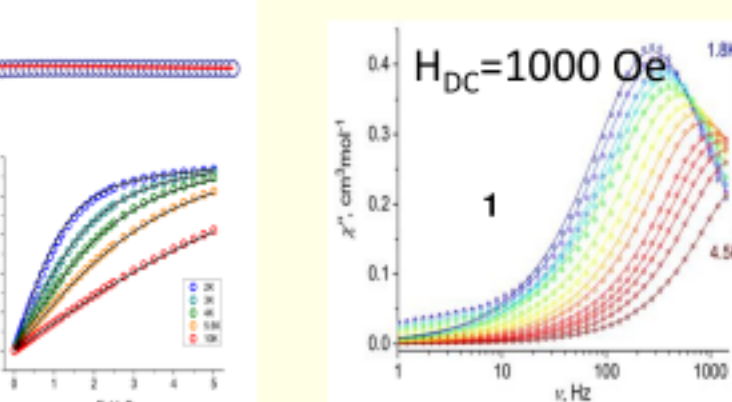
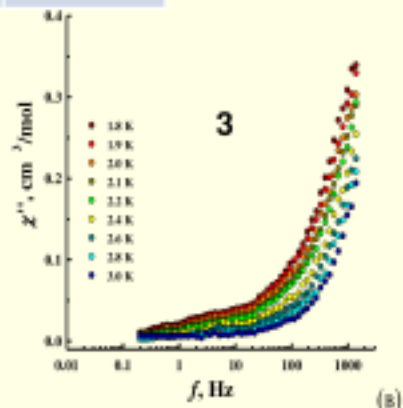
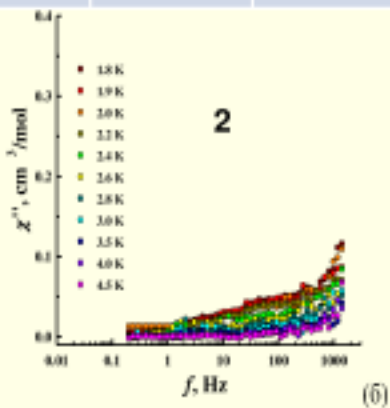


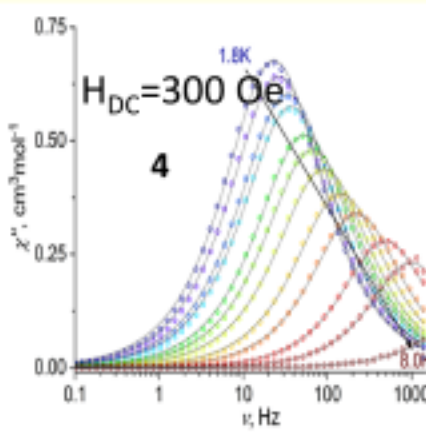
Таблица 1. Сравнение магнитных параметров комплексов **1-3**.



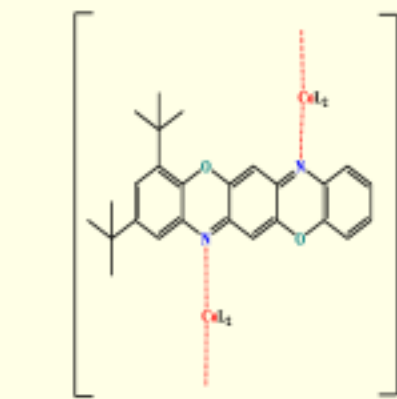
	1	2	3	4
D, cm ⁻¹	+ 35.2	+ 32.5	+ 26.9	- 39.6



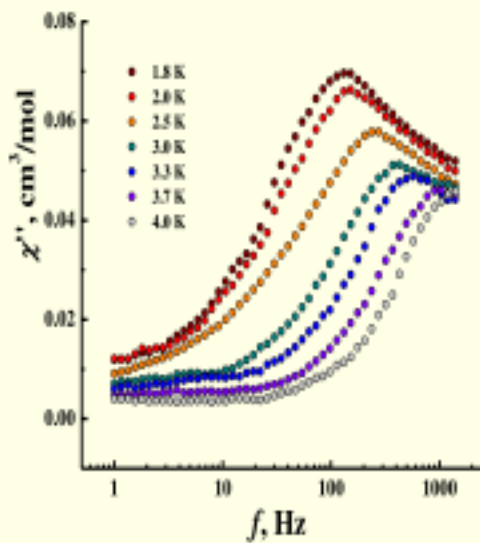
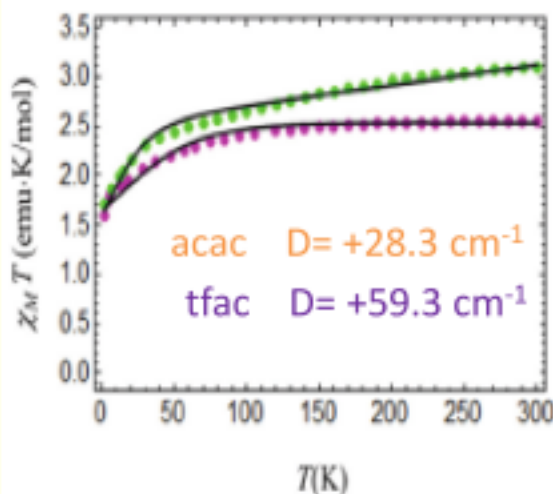
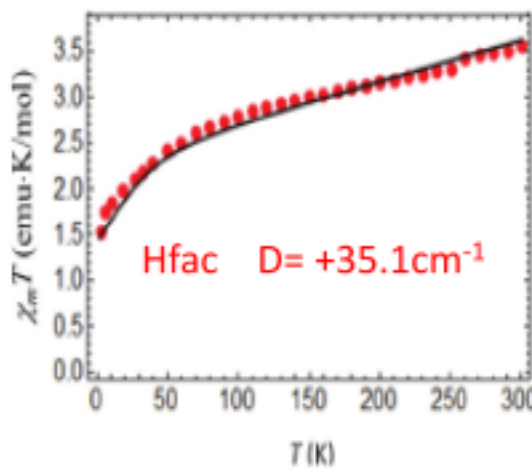
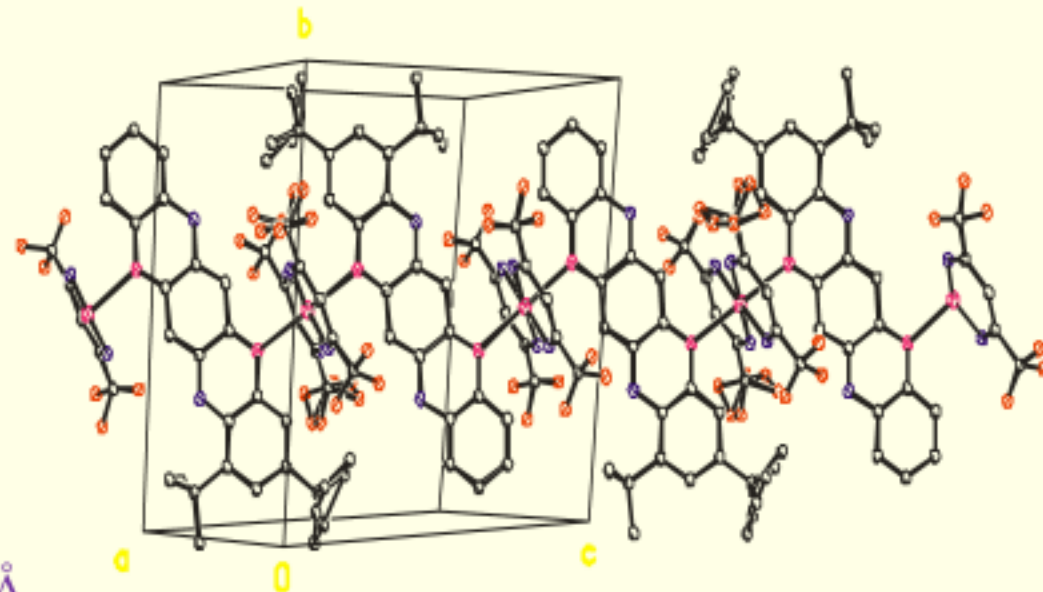
$$\hat{H} = D \left[\hat{S}_Z^2 - \frac{1}{2} S(S+1) \right] + E \left(\hat{S}_X^2 - \hat{S}_Y^2 \right) + \mu_B \left(B_X g_X \hat{S}_X + B_Y g_Y \hat{S}_Y + B_Z g_Z \hat{S}_Z \right)$$



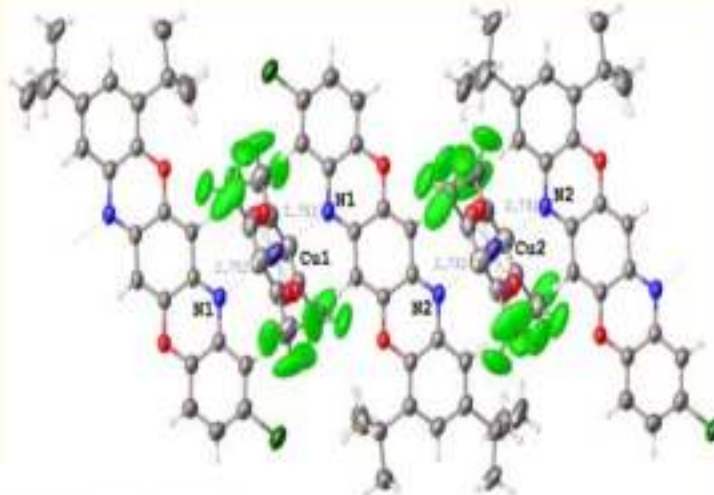
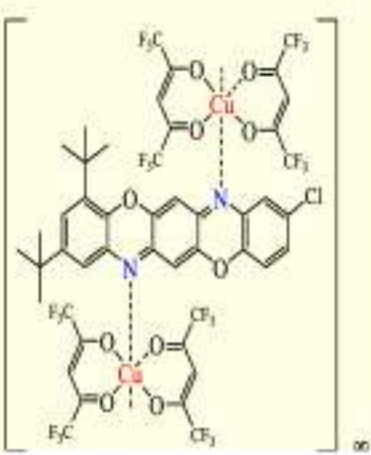
1D CPs based on a New Bridging (Triphenodioxazine) Ligand and Co(II) Diketonates



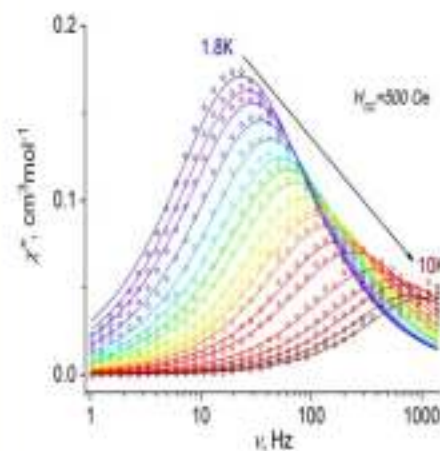
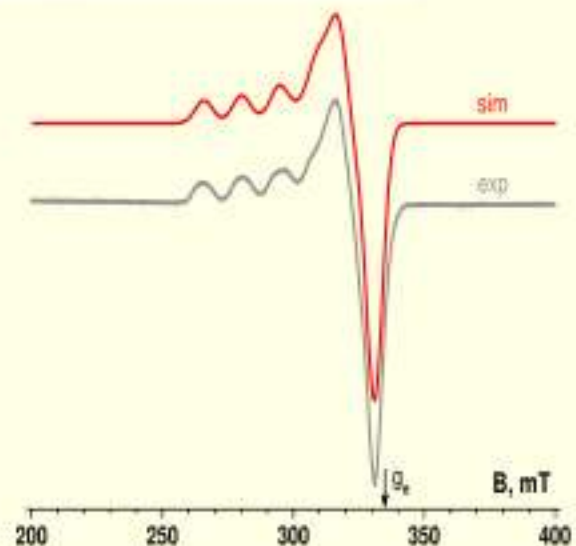
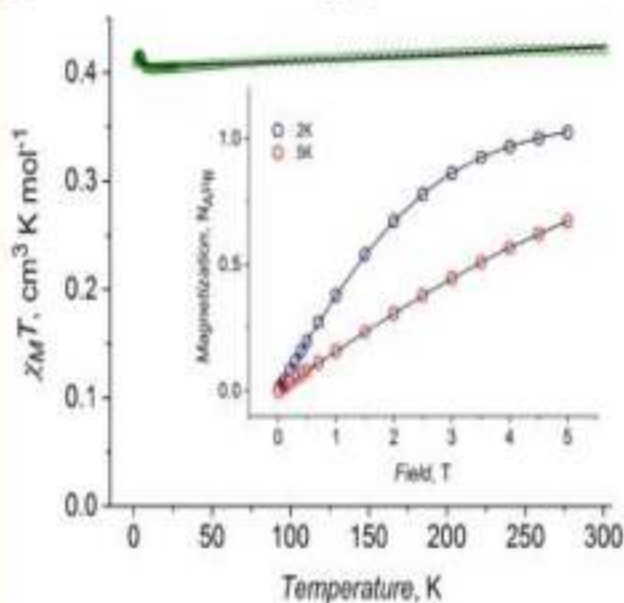
L =
 Acac $\text{Co}-\text{N}$
 Tfac $2.674(2)$ Å
 Hfac $2.363(2)$ - $2.387(2)$ Å
 Hfac $2.357(2)$ - $2.447(2)$ Å



Field supported slow magnetic relaxation in quasi-one-dimensional copper(II) complex with a pentaheterocyclic triphenodioxazine



Несмотря на отсутствие расщепления в нулевом магнитном поле комплекс демонстрирует медленную магнитную релаксацию в приложенном поле 500 Э



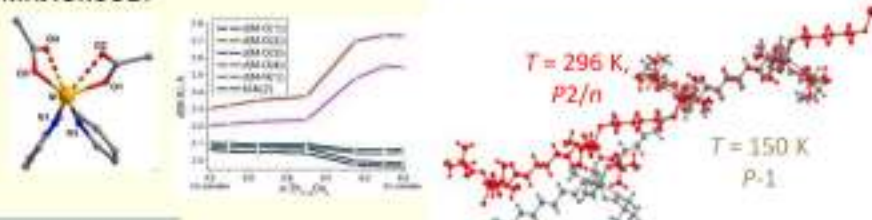
SIM на основе комплексов кобальта(II) и эффекты магнитного разбавления в кристаллических и аморфных матрицах

Имбулатов Д.С., Николаевский Е.А., Зорина-Тихонова Е., Матюхина А., Скабицкий И., Шмелев М., Корчагин Д., Бобешин К., Ефимов Н., Nehrkorn J., Валуев И.А., Кисин М.А., Богомиков А.С., Сутурна Е.А., Шевелева А.М., Омаренко В.И., Hölzlack K., Herrmann C., Федин М.В., Schneid A., Вебер С.Л., Еремяко И.Л.

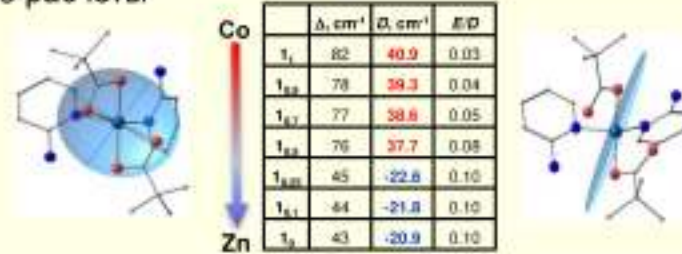
Институт общей и неорганической химии РАН
Междисциплинарный геоморфологический центр CO-PHY
Новосибирский Государственный Университет
Institut für Anorganische und Angewandte Chemie, Universität Hamburg

Helmholtz-Zentrum Berlin für Materialien und Energie
Max-Planck-Institut für Chemische Energiekonversion
University of Washington
University of Bath

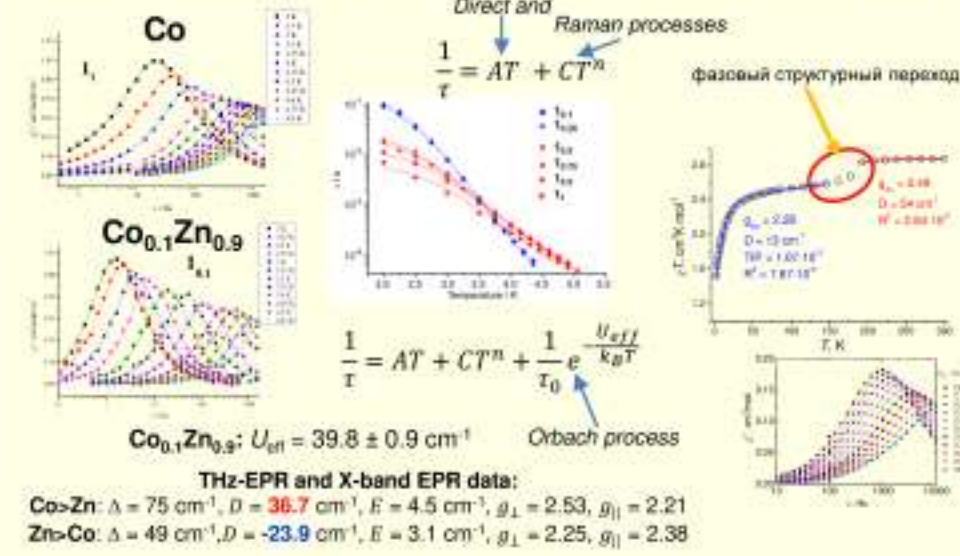
4. Исследование кристаллического строения и фазовых переходов. Изучение влияния состава на изменения кристаллической решетки и молекулярного строения комплексов.



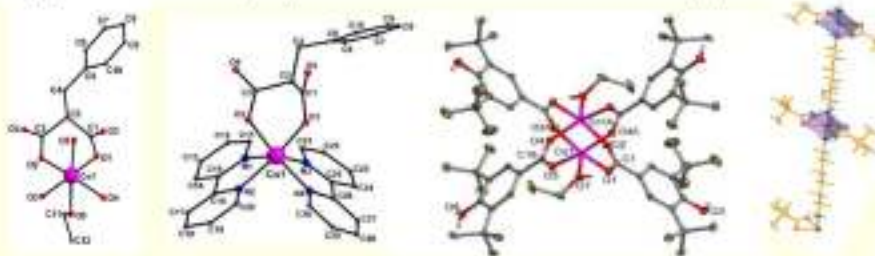
5. Ab initio расчеты



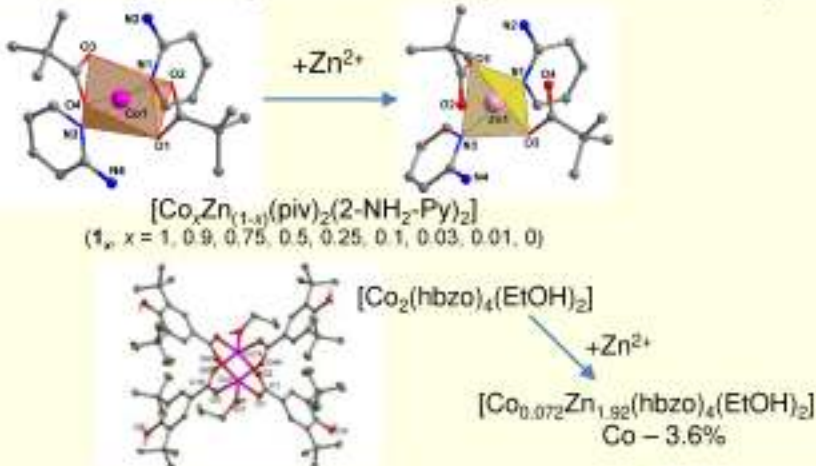
6. Магнитные измерения (AC/DC режимы, ЭПР-спектроскопия)



1. Дизайн молекулярных комплексов кобальта(II)



2. Синтез магнито-разбавленных кристаллических образцов

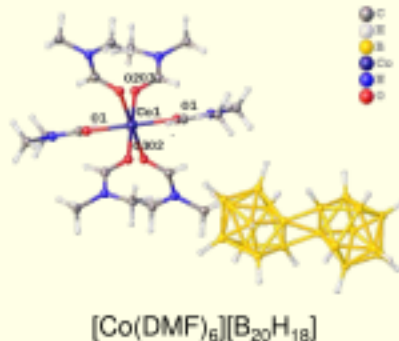


3. Получение лиганд-модифицированных аэрогелей с химически связанными ионами кобальта(II)

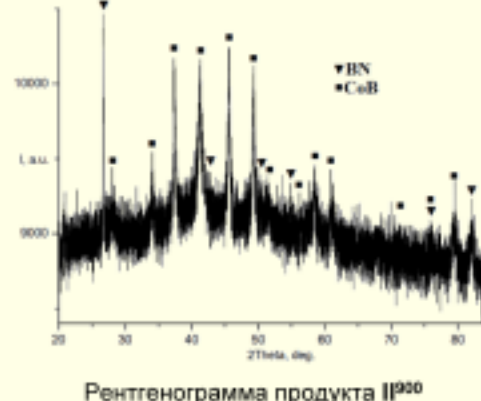


Наноразмерные бориды кобальта на подложках бор-оксидных или бор-нитридных матриц

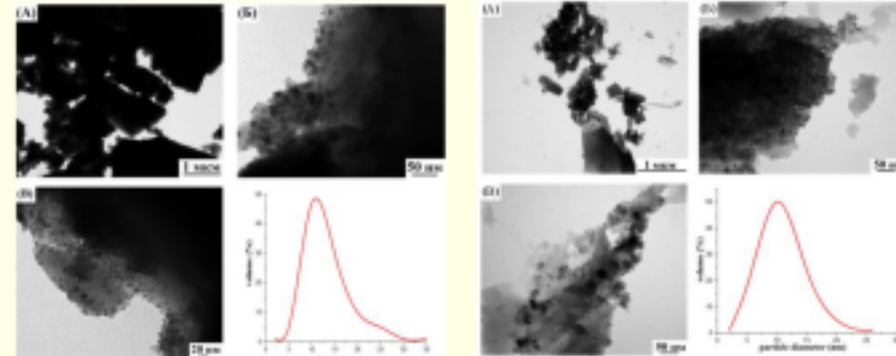
1. Синтез комплексов-прекурсоров с легко уходящими группами – координированными молекулами *N,N*-диметилформамида



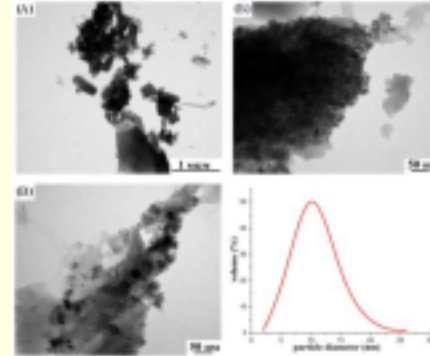
2. Отжиг образцов $[\text{Co}(\text{DMF})_6]\text{[An]}$ при 700–900 °C в атмосфере Ar



Рентгенограмма продукта II^{900}



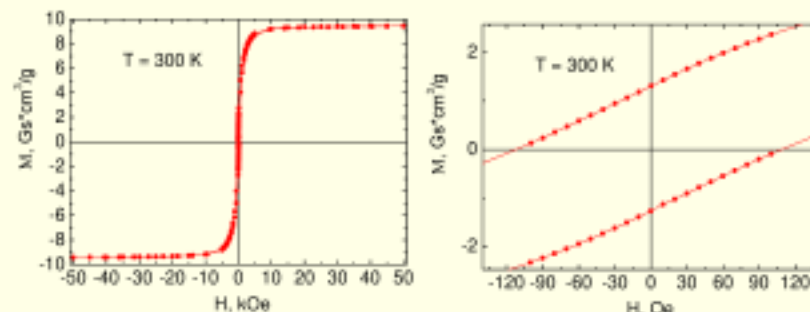
ПЭМ и кривая распределения по размерам частиц образца II^{900} . Размеры изометрических частиц находятся в диапазоне 2–35 нм



ПЭМ и кривая распределения по размерам частиц образца III^{900}

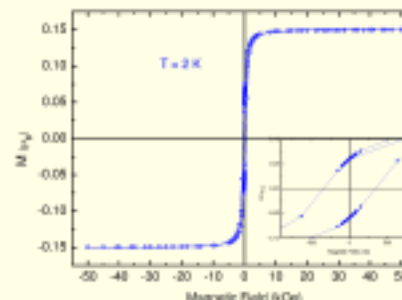
3. Магнетохимические исследования образцов

Борид-оксидная фаза $[\text{Co}(\text{DMF})_6]\text{[B}_{10}\text{H}_{10}\text{]} - 700^\circ\text{C}$ (I^{700})



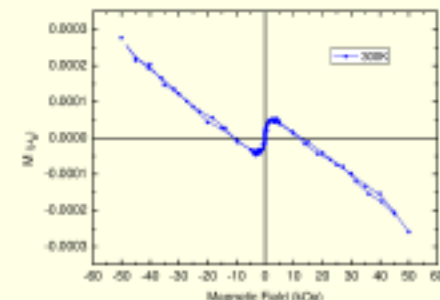
Ферри-/ферромагнитное состояние, намагниченность образца I^{700} достигает насыщения при $H \sim 10$ кЭ, наблюдается гистерезис намагниченности с величиной козрцитивной силы $H_c = 110$ Э

Борид-нитридная фаза $[\text{Co}(\text{DMF})_6]\text{[B}_{12}\text{H}_{12}\text{]} - 900^\circ\text{C}$ (II^{900})



Ферри-/ферромагнитное состояние, наблюдается дальний порядок магнитного упорядочения. $H_c = \sim 300$ Э, остаточная намагниченность $M_R = 0.06$ МВ.

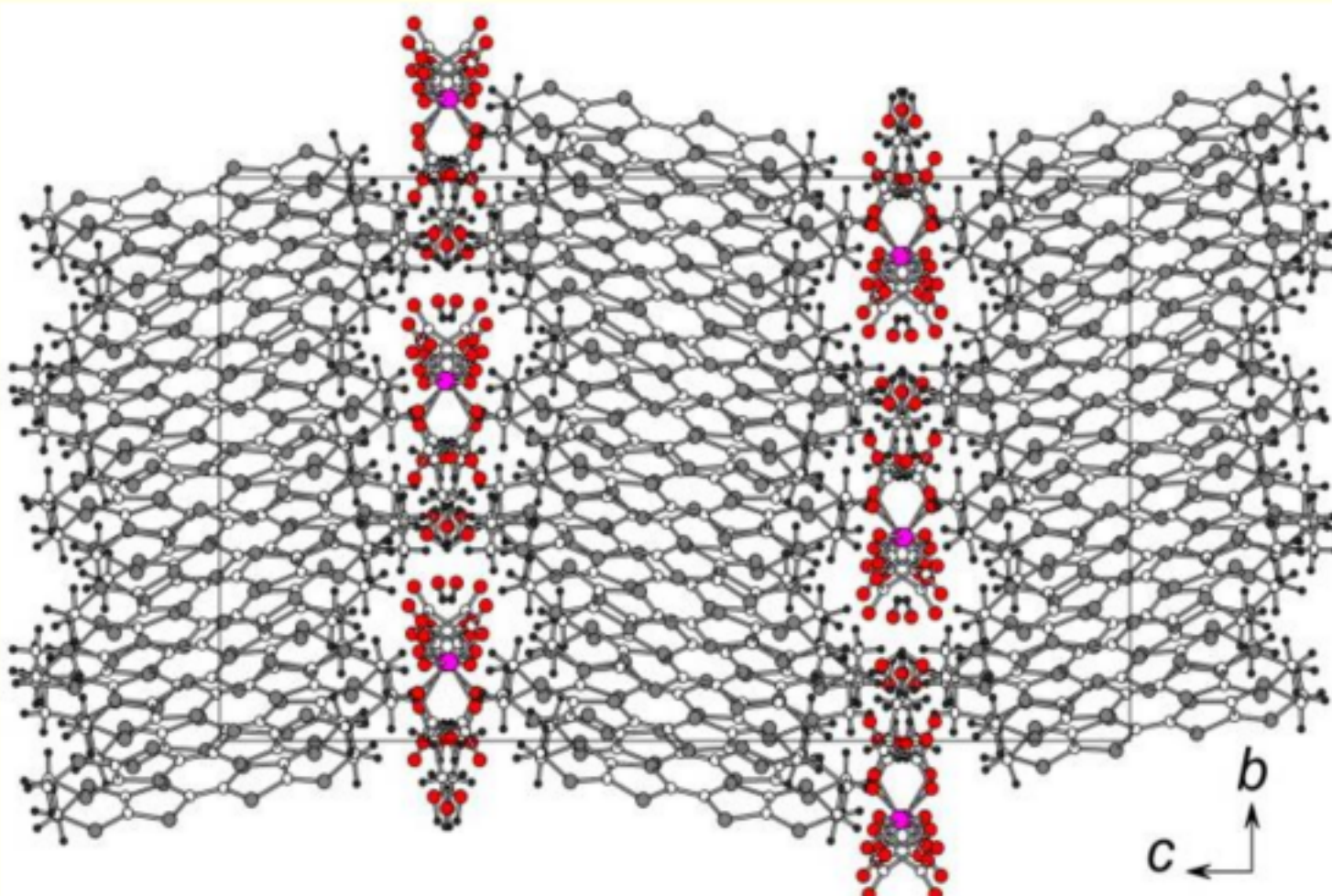
Борид-нитридная фаза $[\text{Co}(\text{DMF})_6]\text{[B}_{20}\text{H}_{18}\text{]} - 900^\circ\text{C}$ (III^{900})



Диамагнетик с примесью ферри-/ферромагнитных фаз

Полифункциональные магниты. Магнетизм и (сверх)проводимость.

ИПХФ РАН (Проф.Э.Б. Ягубский и сотр.)



Кристаллическая структура катион-радикальной соли $(\text{BEDT-TTF})_5\{[\text{Ga}^{\text{III}}(\text{ox})_3]\} \cdot 3.4\text{H}_2\text{O} \cdot 0.6\text{EtOH}$.
Катион-радикальные слои BEDT-TTF чередуются со слоями оксалатов металлов. T.G. Prokhorova et al.,
Crystals 2018, 8, 92.

[Mn^{III}(5-Hal-sal₂323)₂[ReCl₆] (Hal = Cl, Br): первые комплексы марганца, демонстрирующие эффекты спинового кроссовера и моноионного магнита

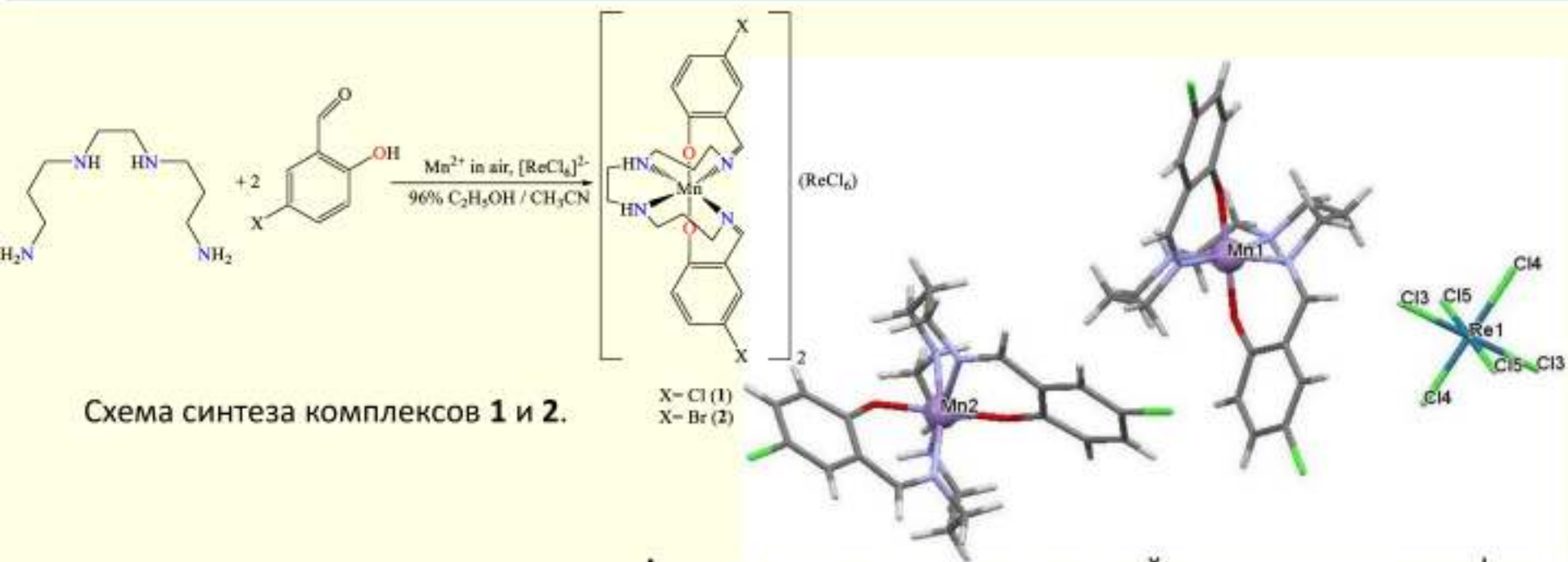
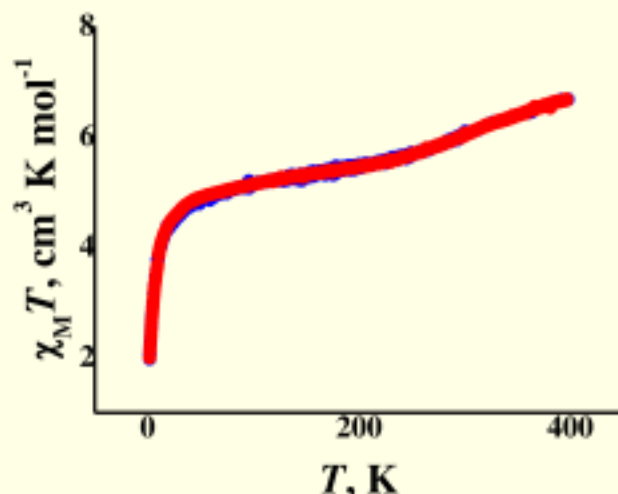


Схема синтеза комплексов **1** и **2**.

Ассиметричная элементарная ячейка структуры изоморфных комплексов [Mn(5-Hal-sal₂323)₂[ReCl₆] (Hal = Cl, Br).

Длины связей Mn-O, Mn-N_{im} и Mn-N_{am} в окружении Mn1 и Mn2 в структуре комплекса **1** от 100 до 423 К. В отличие от катиона Mn2, который находится в BC состоянии, катион Mn1 находится в HC при 100К и переходит в BC состояние при нагревании до 423К, переход сопровождается значительным удлинением связей Mn-N

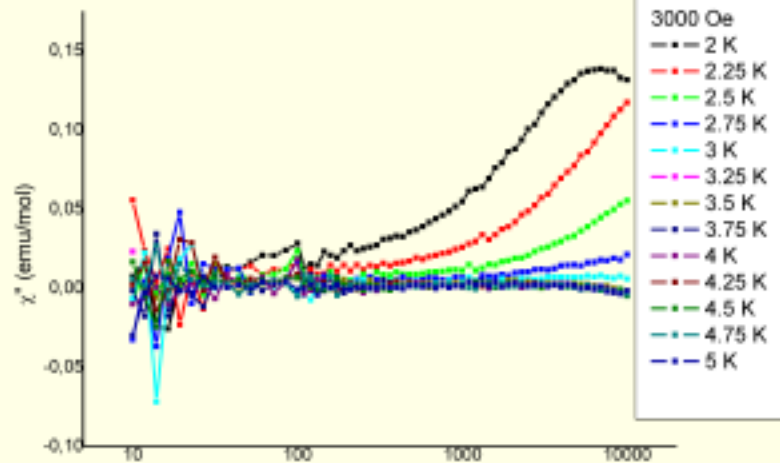
T, K	100		240		300		353		403		423	
Parameter	Mn1	Mn2										
Mn-O	1.874(2)	1.866(2)	1.871(2)	1.866(2)	1.868(2)	1.865(2)	1.866(2)	1.864(2)	1.865(2)	1.860(2)	1.864(2)	1.860(2)
Mn-N _{im}	1.981(2)	2.091(2)	1.983(2)	2.098(2)	2.004(2)	2.101(2)	2.039(2)	2.099(2)	2.067(2)	2.097(3)	2.071(3)	2.098(3)
Mn-N _{am}	2.046(2)	2.201(2)	2.053(2)	2.219(2)	2.080(2)	2.223(2)	2.114(3)	2.225(3)	2.149(3)	2.233(3)	2.157(3)	2.235(3)



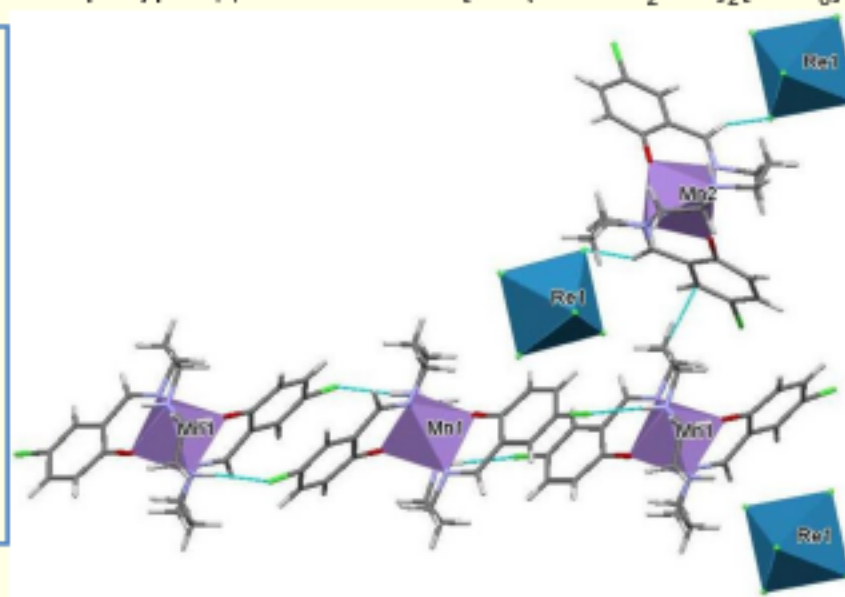
$\chi_m T$ от T для $[\text{Mn}(5\text{-Cl-sal}_2\text{323})_2\text{[ReCl}_6\text{]}]$ (**1**) при охлаждении и нагревании. Комплекс **2** показал аналогичную зависимость

$\chi_m T = 5.12 \text{ cm}^3 \text{K/mol}$ при 100 K, что близко к расч. значению (5.6) для суммы трех невзаим. спинов: одного Re с $S=3/2$, $g=1.8$ ($\chi_m T = 1.6$) и двух Mn ионов, одного (Mn2) в высокоспиновом (ВС) состоянии с $S = 2$, $g = 2$ ($\chi_m T = 3.0$), а другого (Mn1) в низкоспиновом (НС) состоянии с $S = 1$, $g = 2$ ($\chi_m T = 1.0$).

При нагревании до 400 K $\chi_m T$ возрастает до $6.67 \text{ cm}^3 \text{K/mol}$, что указывает на постепенный переход катионов Mn1 в ВС состояние. Однако переход не полный. X-ray анализ при 423 K показал дальнейший рост длин связей Mn-N.



Частотная зависимость минимум (χ'') компоненты ас восприимчивости в поле 3000 Ое при разных температурах для комплекса $[\text{Mn}(5\text{-Cl-sal}_2\text{323})_2\text{[ReCl}_6\text{]}$.

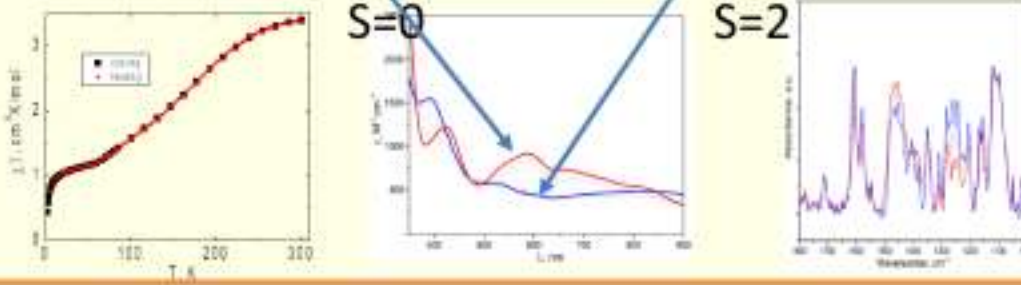
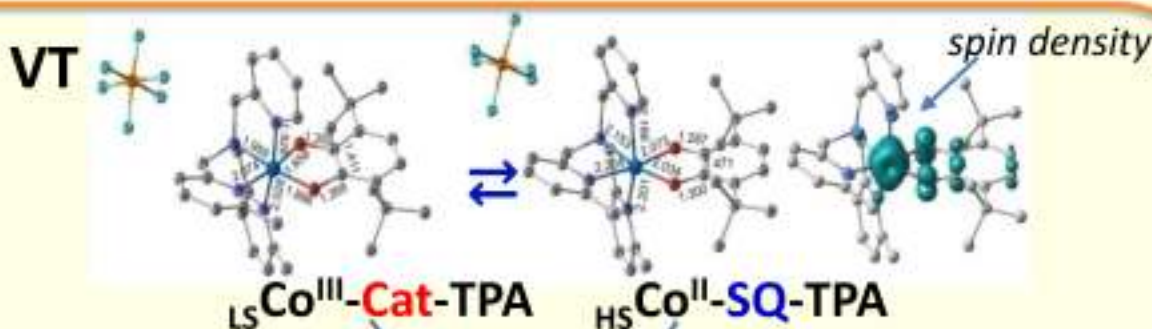
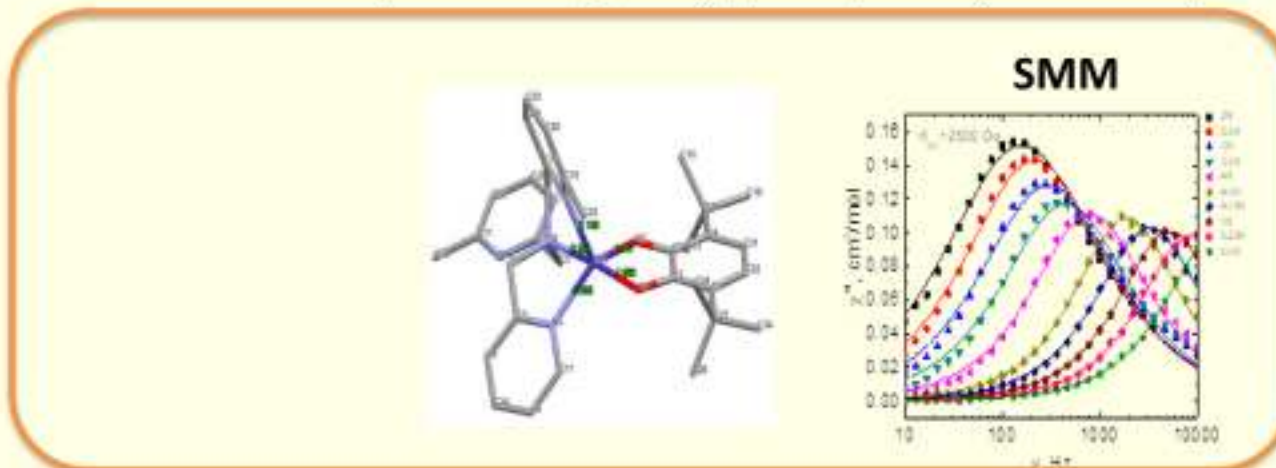


В отличие от комплексов Mn2, комплексы Mn1, которые претерпевают высокотемпературный спиновый переход в структурах $[\text{Mn}(5\text{-Hal-sal}_2\text{323})_2\text{[ReCl}_6\text{]}$ ($\text{Hal} = \text{Cl}, \text{Br}$), связываются в цепочки между собой за счет межмолекулярных водородных связей N-H...Cl ($\text{H...Cl} 2.70 \text{ \AA}$, $\text{N...Cl} 3.41 \text{ \AA}$, $\text{N-H...Cl} 141.5^\circ$).

Магнитные свойства о-бензохиноновых комплексов кобальта с тетрадентатным N-донаорным основанием

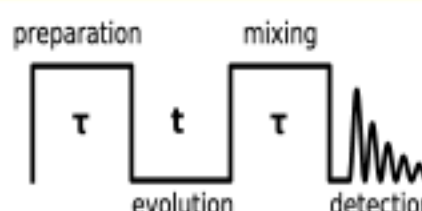
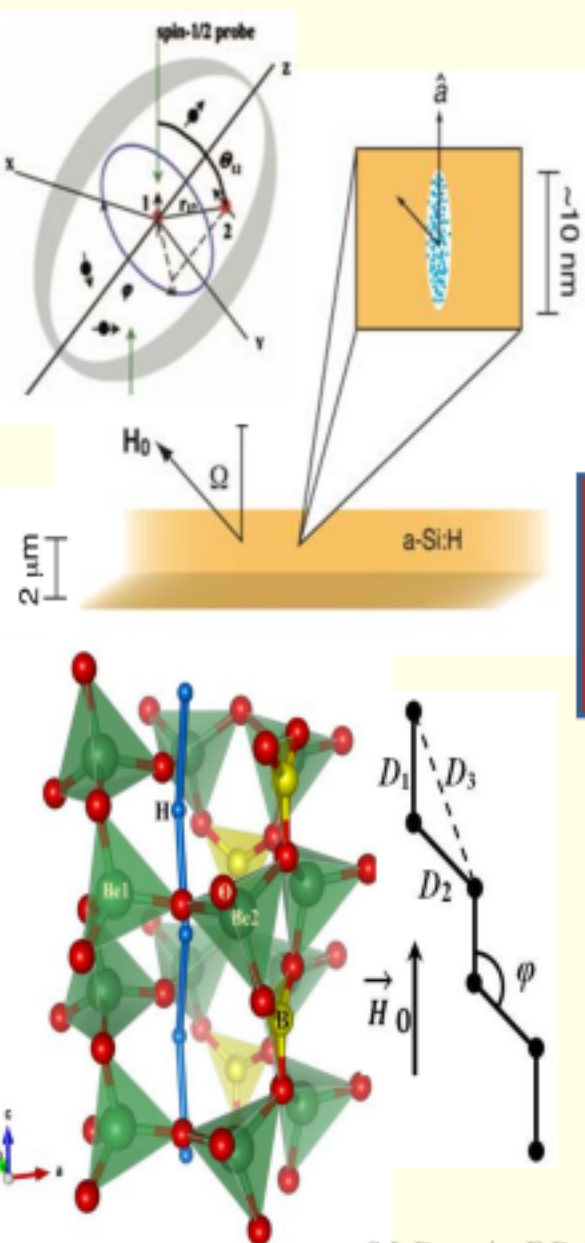
ЮФУ (ак. В.Н. Минкин, проф. А.Г. Старикив с сотр.)

ИПХФ РАН (ак. С.М. Алдошин, Д.В. Корчагин, Г.В. Шилов)

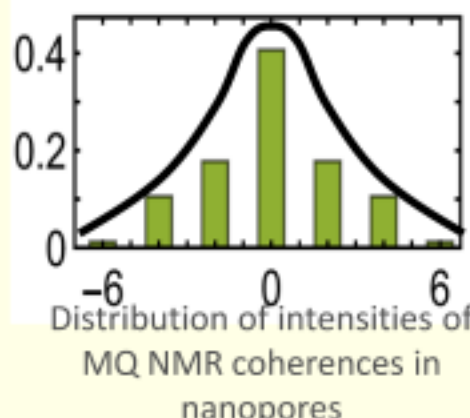


Динамика ядерных и электронных спинов

квантовая информатика

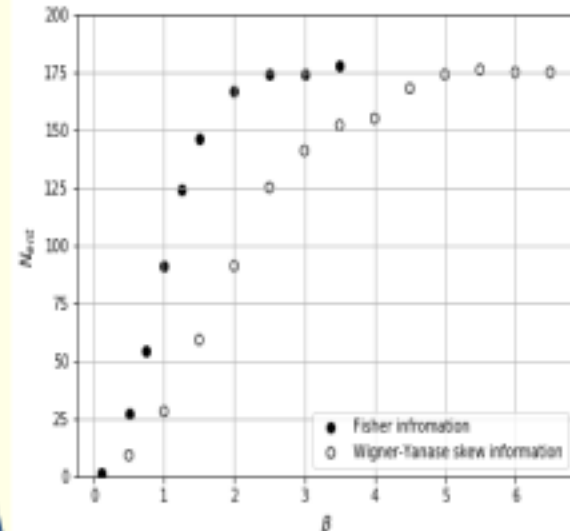


Scheme of MQ NMR experiment

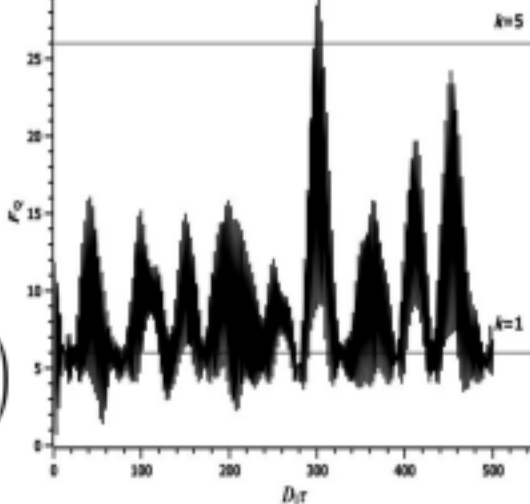


$$F_Q(\tau) \geq 2M_2(\tau)$$

$$I_{WY}(\rho(\tau, \beta), I_z) = 2 \sum_k k^2 J_k\left(\tau, \frac{\beta}{2}\right) = 2M_2\left(\tau, \frac{\beta}{2}\right)$$



Dependence of number of entangled spins in nanopore with 201 spins on inverse temperature



Evolution of quantum Fisher information in six-spin zigzag chain at $2.4 \times 10^{-3} \text{ K}$

S.I. Doronin, E.B. Fel'dman, I.D. Lazarev, Phys. Rev. A **100**, 022330, 2019

S.I. Doronin, E.B. Fel'dman, I.D. Lazarev, Phys. Lett. A **406**, 127458, 2021

Актуальная задача **молекулярной спинtronики** – изучить возможность контролируемым образом менять наряду с зарядовыми распределениями также спиновые состояния молекулярных ячеек квантовых клеточных автоматов

Квантовые клеточные автоматы (ККА)

⇒ молекулярная электроника

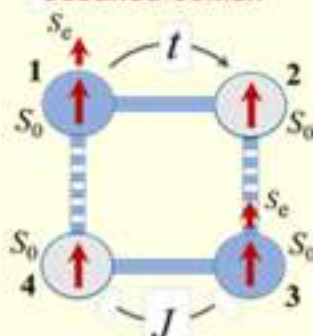
Спиновые переключатели (СП) в которых спин контролируется электрическим полем

⇒ молекулярная спинtronика

Возможно ли скомбинировать функции ККА и СП в одном электронном устройстве?

Квадратная ячейка, составленная из двух димерных полуячеек $d^{n+1}-d^n$ -типа

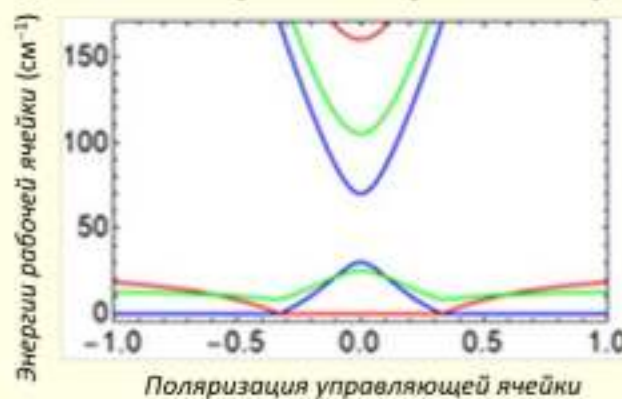
Перенос электрона между спиновыми остатками – ферромагнитный двойной обмен



Антиферромагнитный гейзенберговский обмен

Кулоновское поле управляющей ячейки подавляет ферромагнитный двойной обмен, но не влияет на антиферромагнитный гейзенберговский обмен ⇒ предполагаемая возможность спинового переключения в димерной полуячейке

Выполненные расчеты подтвердили эту гипотезу



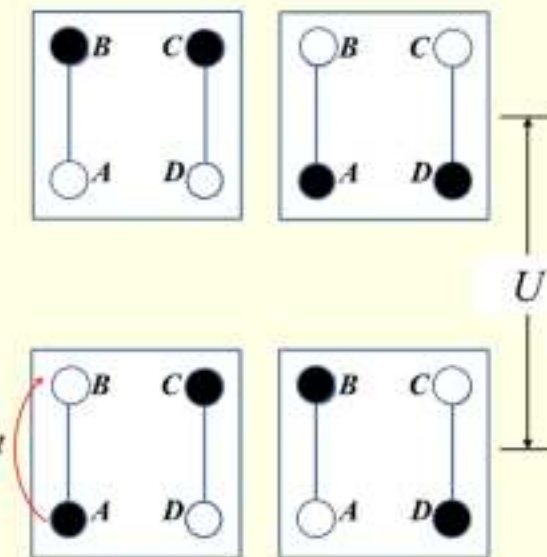
— максимальные значения спинов димерных полуячеек
— минимальные значения спинов димерных полуячеек

Ранее рассматривались только ячейки содержащие бесспиновые остатки

Palii A., Clemente-Juan J. M., Aldoshin S., Korchagin D., Rybakov A., Zilberg S., Tsukerblat B. Mixed-Valence Magnetic Molecular Cell for Quantum Cellular Automata: Prospects of Designing Multifunctional Devices through Exploration of Double Exchange // The Journal of Physical Chemistry C 2020, Vol. 124, No. 46, P. 25602–25614.

Актуальная задача молекулярной электроники – расширить класс систем пригодных в качестве молекулярных ячеек квантовых клеточных автоматов

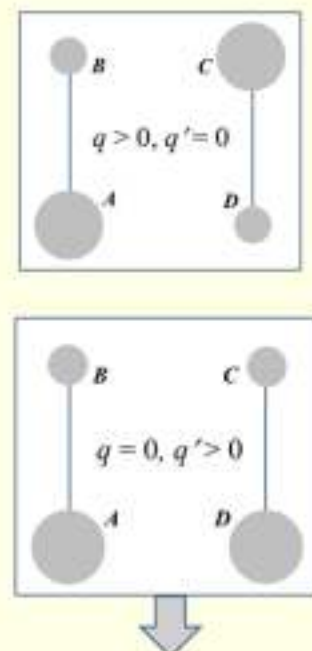
Бидимерные ячейки



Рассмотрен общий случай когда неравенство $U \gg t$ не выполняется

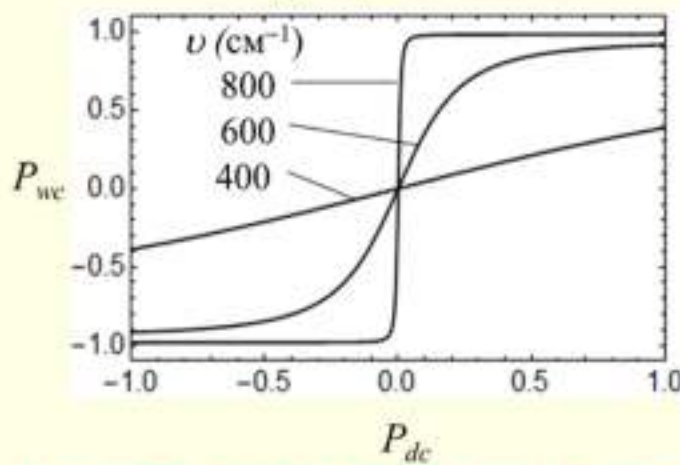
Ранее предполагалось, что только системы с $U \gg t$ могут использоваться в качестве ячеек
Мы показали, что это не так

Активные колебания



Двухмодовая
вибронная задача

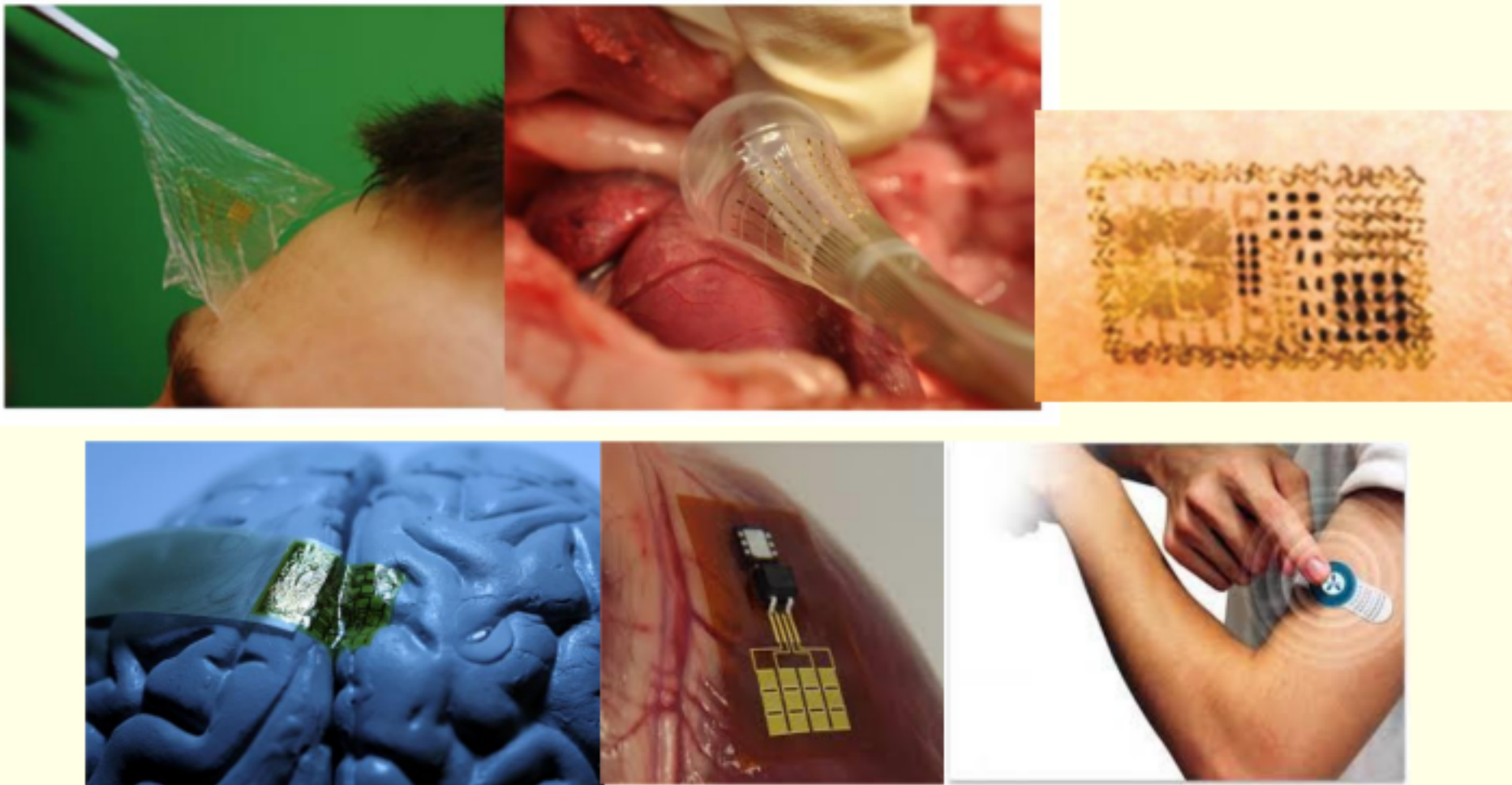
Влияние вибронного взаимодействия на функцию отклика



В случае сильной связи ячейки проявляют бистабильность и поляризумость \Rightarrow возможность существенно расширить класс молекулярных ячеек за счет включения в него систем, в которых не реализуется случай сильного кулоновского взаимодействия, но зато имеет место сильная вибронная связь.

Palii, A.; Clemente-Juan, J. M.; Rybakov, A.; Aldoshin, S.; Tsukerblat, B. Toward multifunctional molecular cells for quantum cellular automata: exploitation of interconnected charge and spin degrees of freedom. // Physical Chemistry Chemical Physics. –2021. – Vol. 23, N.26. – P. 14511–14528.

Биосовместимая органическая и молекулярная электроника: носимая и имплантируемая

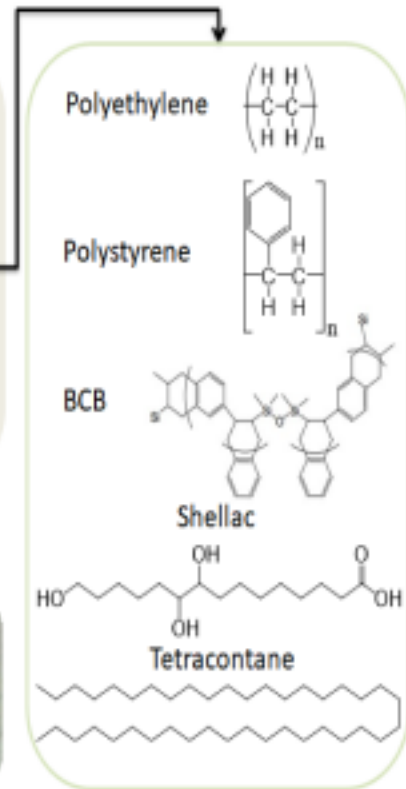
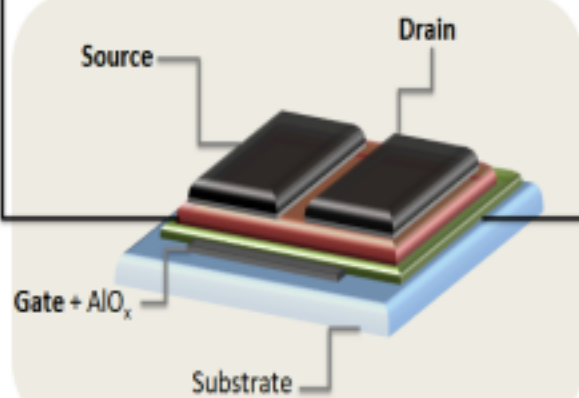
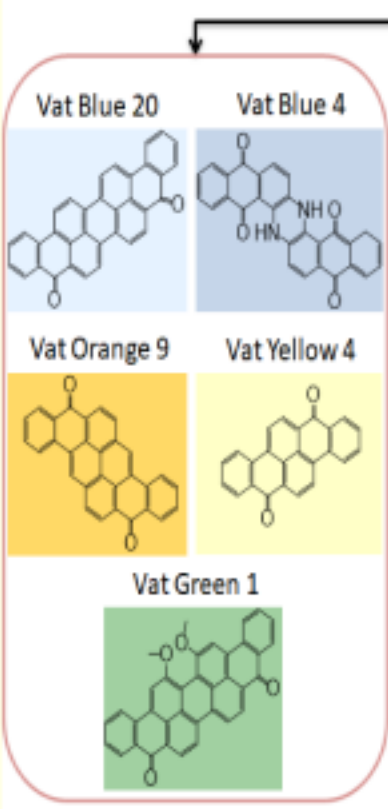
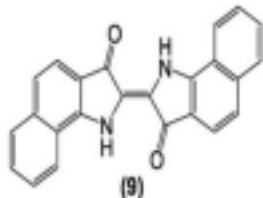
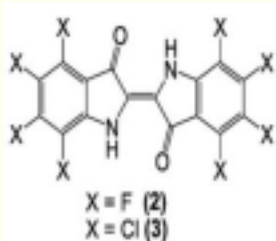
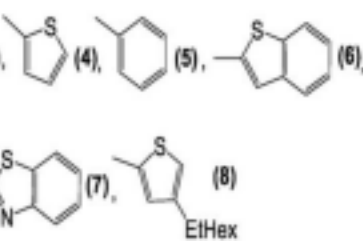
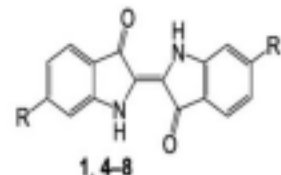


T. Sekitani, T. Someya, Materials Today 2011, 14, 398

M. Irimia-Vladu, Chem. Soc. Rev., 2014, 43, 5881

M. L. Hammock, A. Chortos, B. C.-K. Tee, J. B.-H. Tok and Z. Bao, Adv. Mater., 2013, 25, 5997.

Разработаны устройства биосовместимой молекулярной электроники на основе производных индиго и бензантроновых красителей

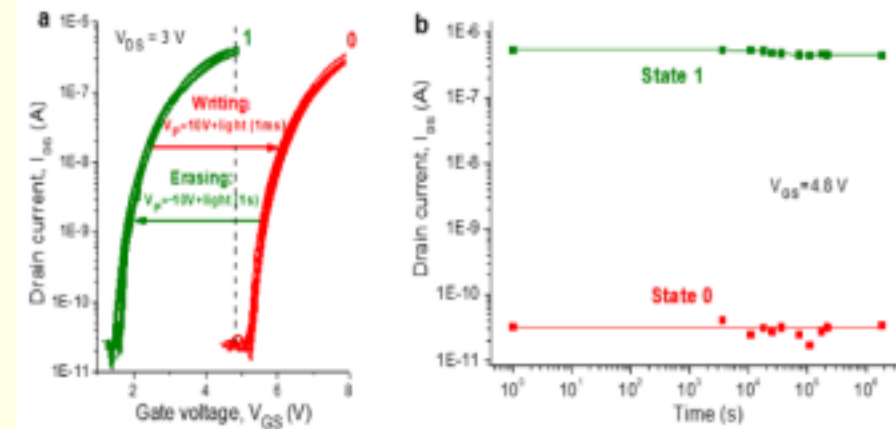


- I. V. Klimovich, A. V. Zhilenkov, L. I. Kuznetsova, L. A. Frolova, O. R. Yamilova, S. I. Troyanov, K. A. Lyssenko, P. A. Troshin. Novel functionalized indigo derivatives for organic electronics. *Dyes and Pigments*, 2021, 186, 108966
- M. R. Chetyrkina, F. S. Talalaev, L. V. Kameneva, S.V. Kostyuk, P. A. Troshin. Vat Dyes: Promising Biocompatible Organic Semiconductors for Wearable Electronics Applications. *J. Mater. Chem. C.*, 2022, 10, 3224

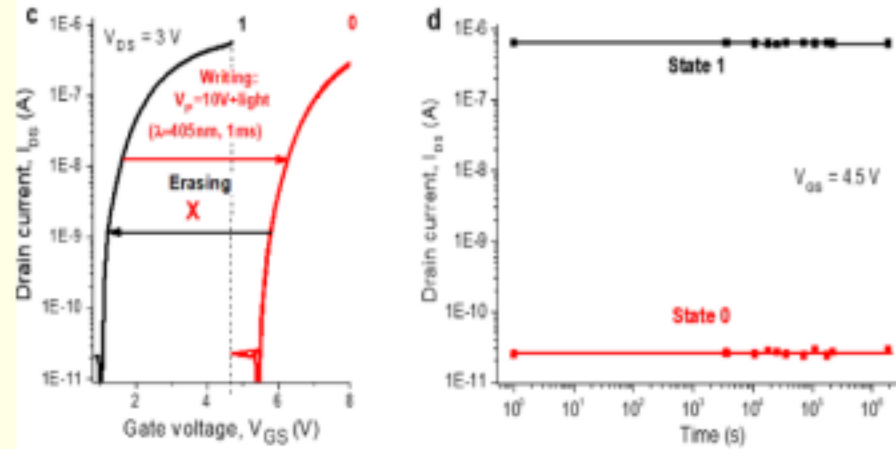
В сотрудничестве с университетом Бен-Гуриона разработаны устройства оптической памяти на основе молекулярных донорно-акцепторных диад порфирина-фуллерена



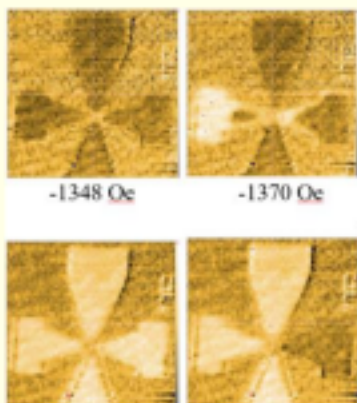
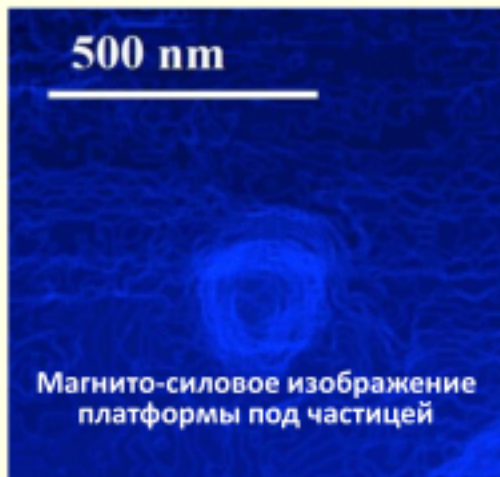
Устройства Flash-памяти на основе транзисторов с монослоем FP



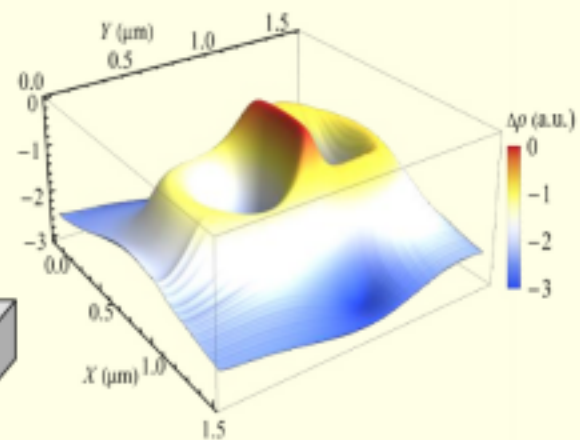
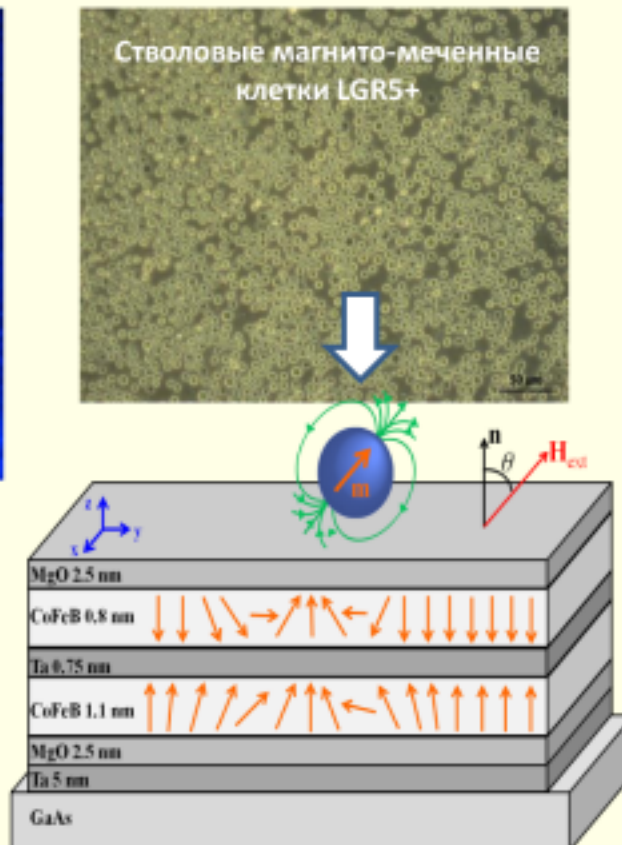
Устройства ROM-памяти на основе транзисторов с монослоем PF



От молекулярного магнетизма к металлической спинtronике



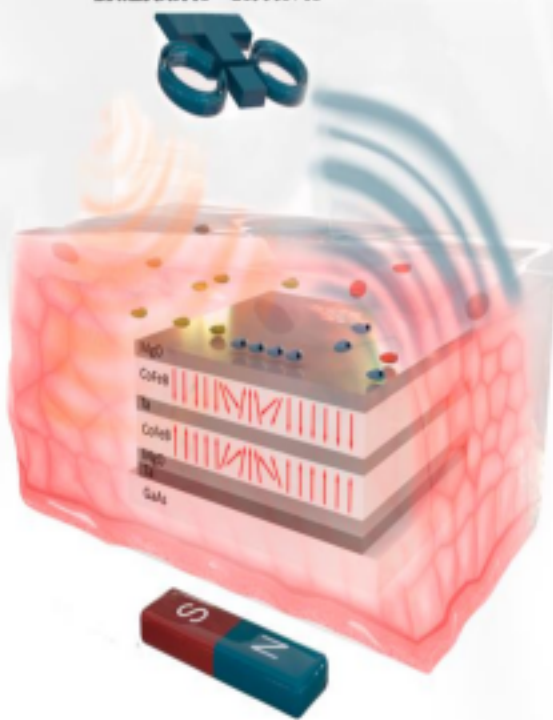
Использование spin-torque
для детектирования частиц



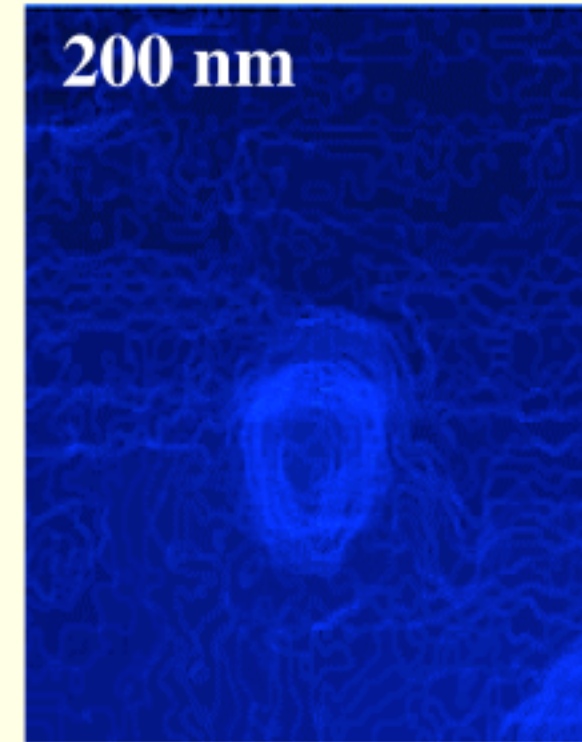
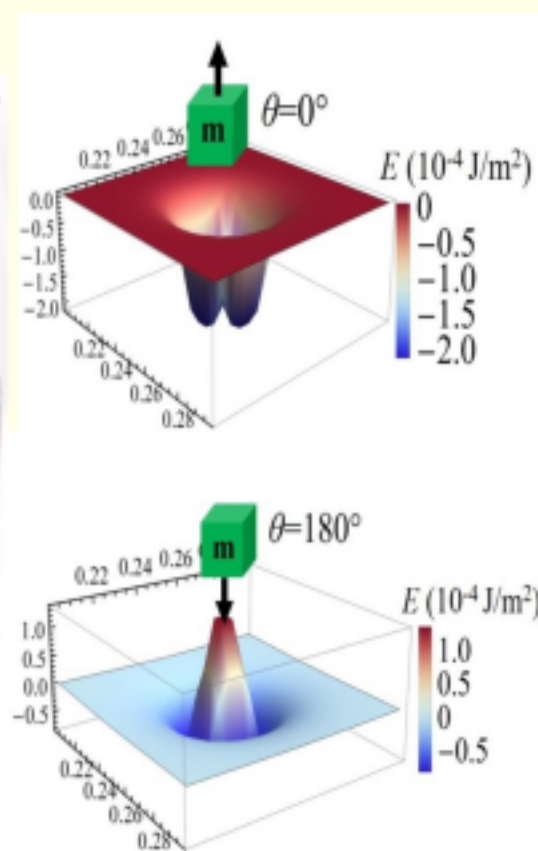
«Магнитные изображения» и микроволновое детектирование магнито-меченной клетки на поверхности спинового вентиля

(2a)

Transducer · Receiver



(2b)



Not labeled cells ● Labeled cells

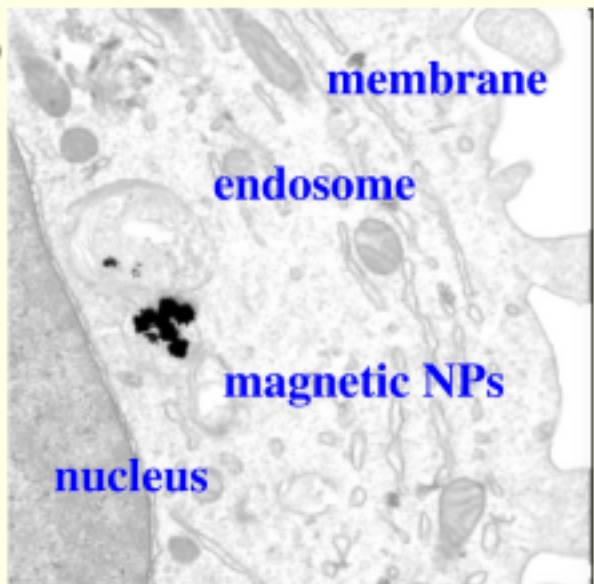
Микроволновая регистрация состояний спин-вентильного сенсора, перемагниченного магнито-меченными клетками на его поверхности *in-vivo*

Распределение поверхностной плотности энергии платформы CoFeB/Ta/CoFeB, находящейся под действием поля рассеяния кубической наночастицы CoFe₂O₄, для случая параллельного (а) и антипараллельного (б) направления поля наночастицы.

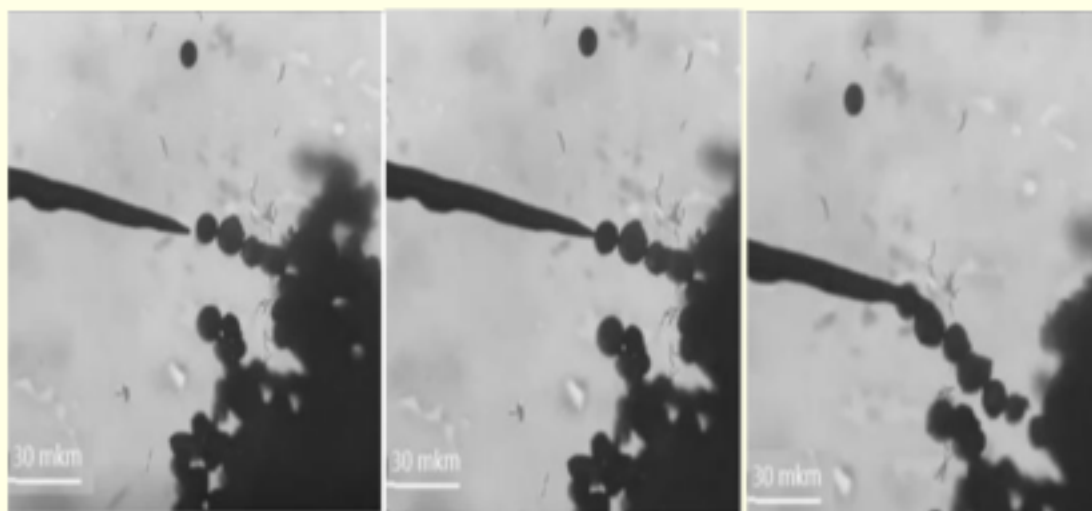
«Магнитная тень» - область намагниченности вокруг наночастицы на сенсоре, полученная вычитанием АФМ рельфа из магнитного контраста МФМ.

Магнитные микропинцеты для захвата магнито-меченных клеток

(3a)



(3b)

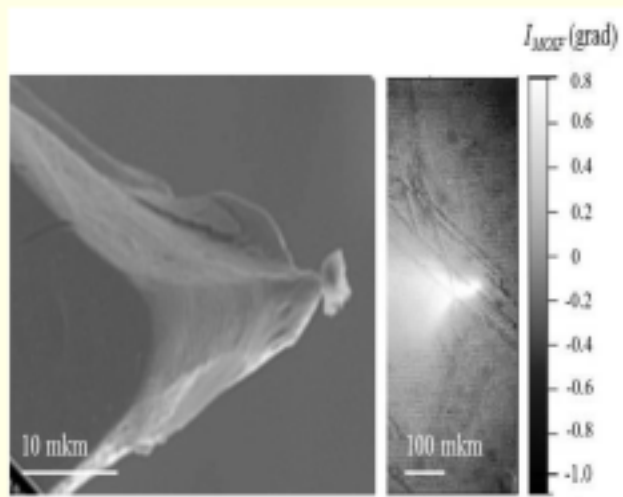


Захват микрочастиц магнитным пинцетом

Ферромагнитны наночастицы в живой клетке

Выводы

(3c)

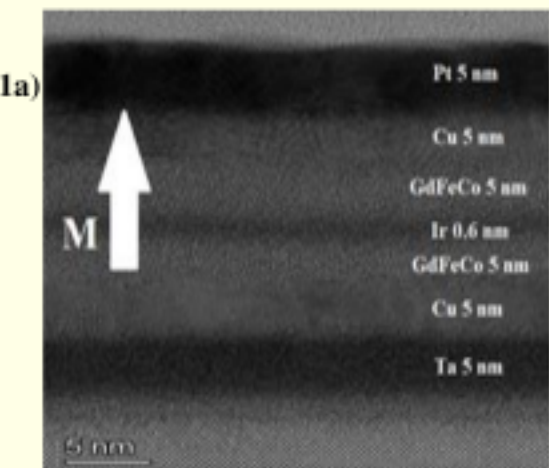


Слева TEM наконечника пинцета.
Справа – его магнитное изображение

Мы разработали микропровода Fe/DyPrFeCoB для концентрации магнитного потока и увеличения силы магнитного притяжения. Мы обнаружили силу до 2000 пН, контролирующую микрочастицу того же материала размером 1 мкм на широкой области длиной ~ 5 мкм, достаточную для биологических и медицинских приложений. Большой градиент магнитного поля до ~ $0.8 \cdot 10^6$ Тл/м, обнаруженный вблизи одиночного наконечника микропровода, очень близок к самым высоким градиентам, достижимым в медицинских инструментах. Этого значения градиента достаточно даже для воздействия на биологические процессы внутри клеток без магнитных маркеров. Наличие ферромагнитного ядра а-Fe и ферромагнитной аморфной оболочки DyPrFeCoB позволяет использовать четыре магнитных состояния, переключаемых во внешнем однородном магнитном поле, для присоединения-отсоединения микрочастиц.

Медленная релаксация spin-torque при переключении направления магнитного поля в синтетических ферримагнетиках GdFeCo/Ir/GdFeCo

Моргунов Р.Б., Бахметьев М.В., Коплак О.В.



TEM поперечное изображение образца
GdFeCo/Ir/GdFeCo.

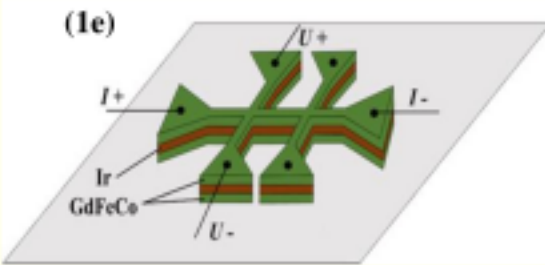
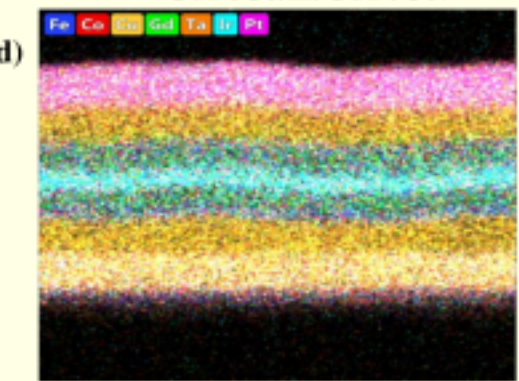
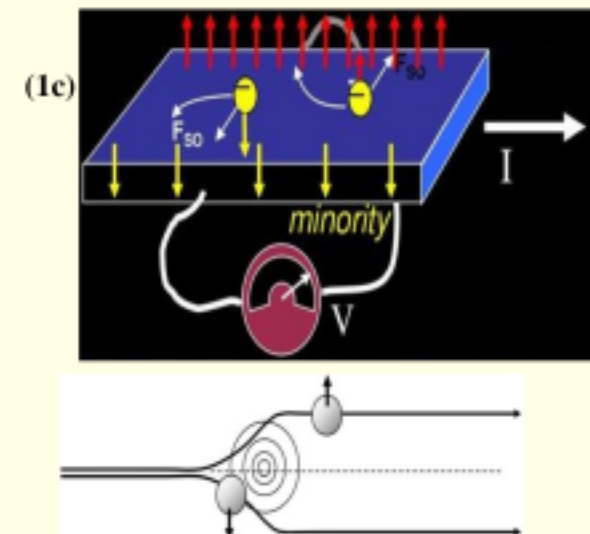
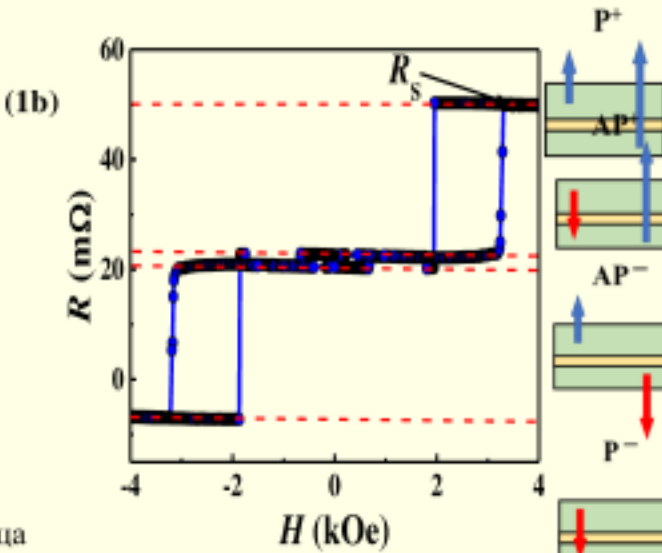
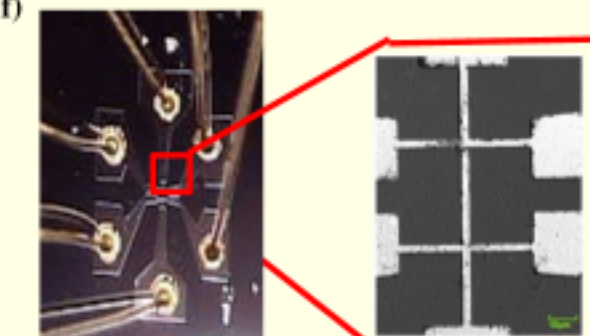
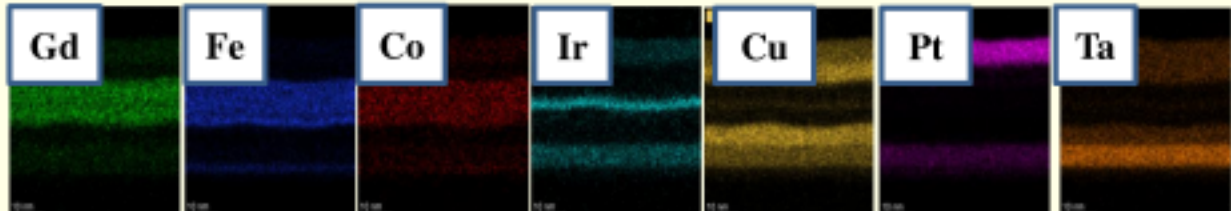


Схема для снятия поперечного
напряжения



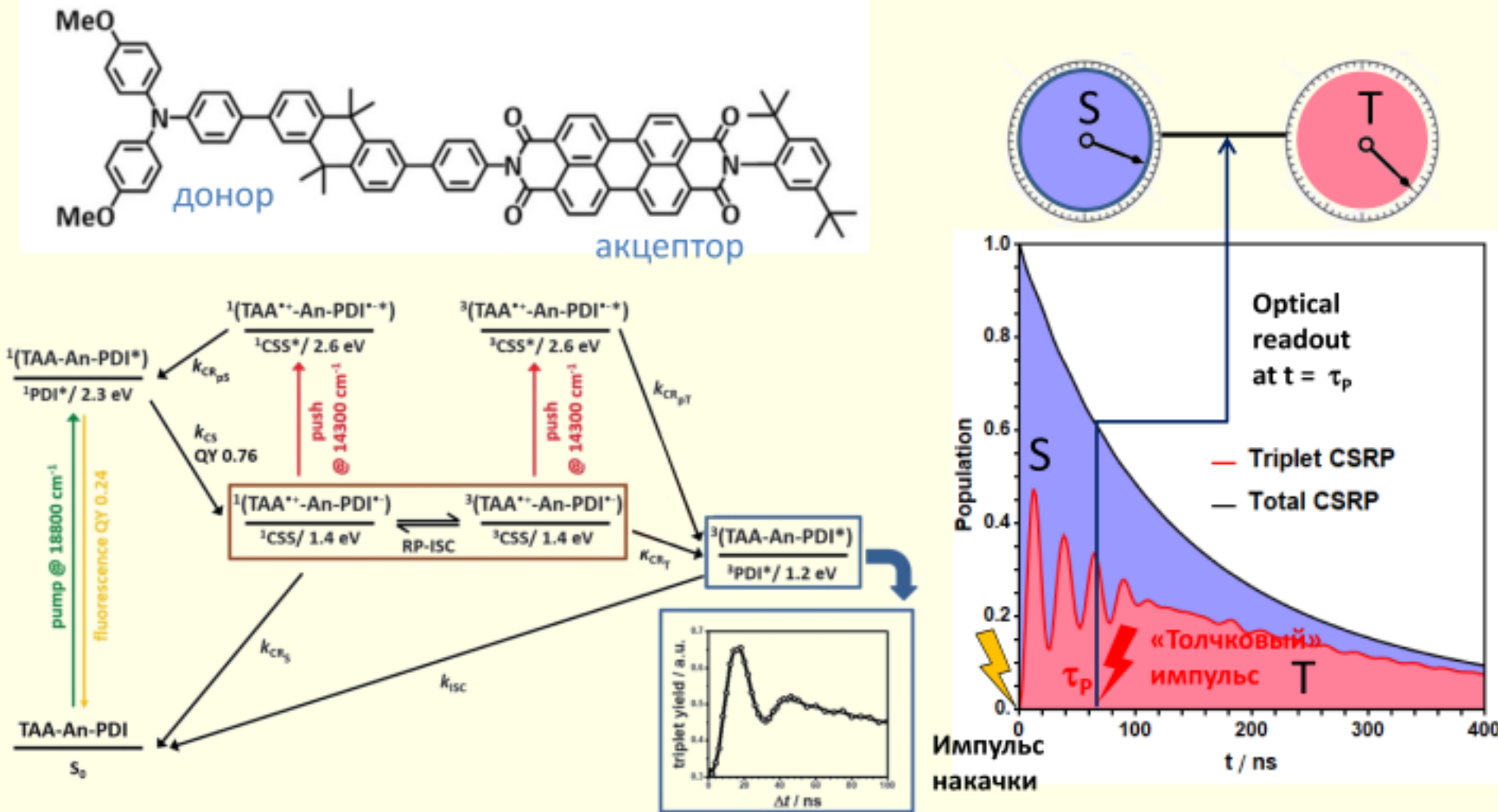
Контакты к структуре

Двухслойная структура проявляет спин-орбитальный вращательный момент, прямо пропорциональный намагниченности слоев. Резистивная петля гистерезиса следует повторяет петлю гистерезиса намагниченности.



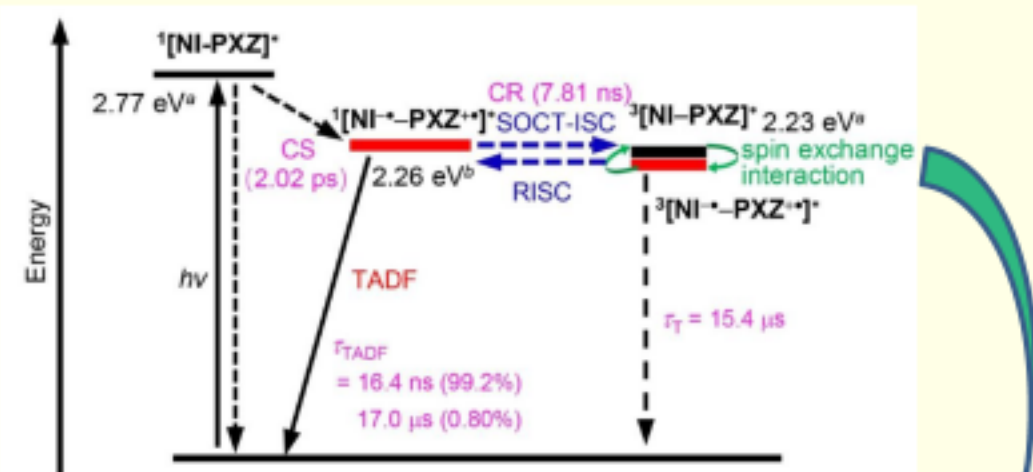
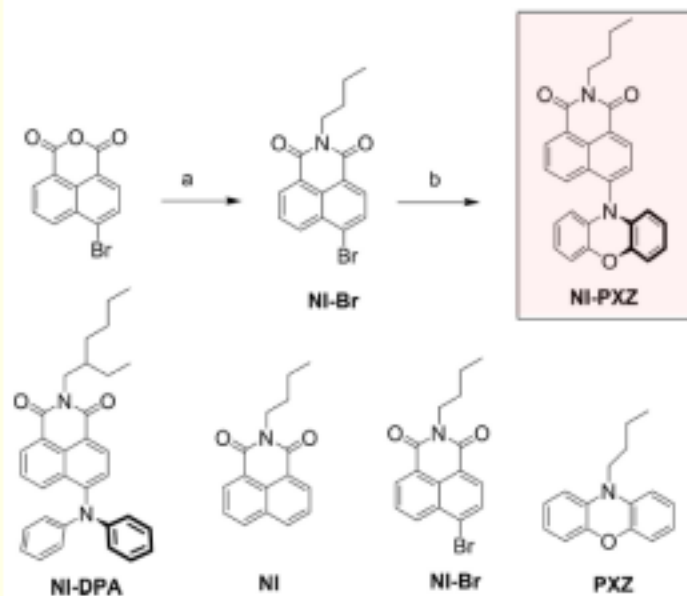
EDX изображения химического состава образца GdFeCo/Ir/GdFeCo и его профили

Разработан метод исследования ранее неразличимых спиновых состояний

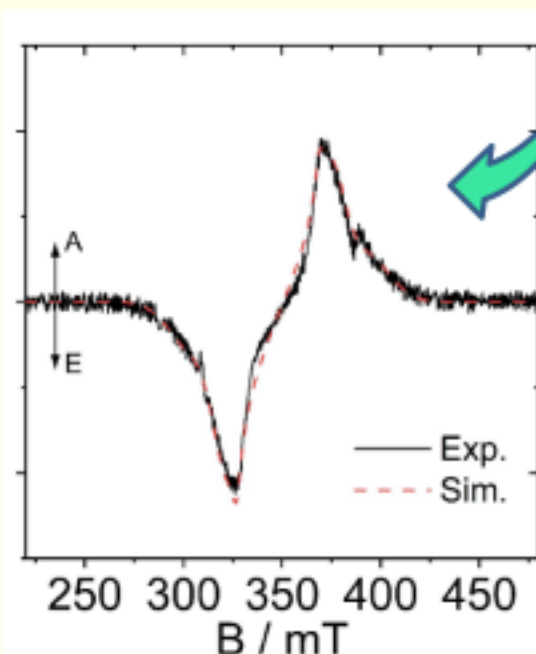
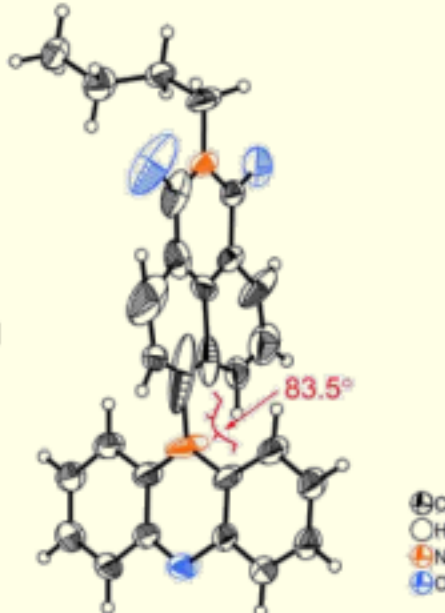


Readout of spin quantum beats in a charge-separated radical pair by pump-push spectroscopy David Mims, Jonathan Herpich, Nikita N. Lukzen, Ulrich E. Steiner, Christoph Lambert Science • 16 Dec 2021 • Vol 374, Issue 6574 • pp. 1470-1474 • DOI: 10.1126/science.abl4254

Термически активированная замедленная флуоресценция (TADF) в спиновой диаде



- Изучены особенности TADF в спиновой диаде Ni-PXZ методами оптической и ВР ЭПР спектроскопии
- Долгоживущее состояние с разделенными зарядами ($15.4 \mu\text{s}$)
- Спиновый обмен с триплетным состоянием по данным ВР ЭПР



Red Light-Emitting TADF of Naphthalimide-Phenoxazine Electron Donor-Acceptor Dyad... X. Zhang, ..., J. Zhao, M. V. Fedin. Chem. Eur. J. 28 (2022) e202200510.

Благодарю за внимание

**Выражаю благодарность авторам
работ за предоставленные
материалы**

**Работа выполнена при финансовой поддержке Министерства науки и
высшего образования Российской Федерации (грант № 075-15-2020-779).**



INTERNATIONAL TOMOGRAPHY CENTER OF THE SIBERIAN BRANCH RAS



Sergey Veber
Anatoly Melnikov
professor
Matvey Fedin
Artem Bogomyakov
academician Victor
Ovcharenko



Budker Institute of Nuclear Physics SB RAS

Yaroslav Getmanov
Oleg Shevchenko



Kurnakov Institute of General and Inorganic Chemistry RAS

Mikhail Kiskin



Институт общей и неорганической химии им. Н.С. Курнакова Российской академии наук



академик РАН
И.Л. Еременко



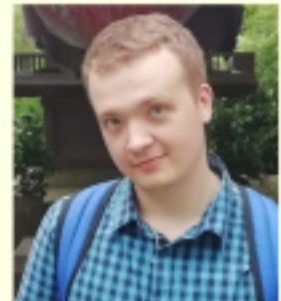
к.х.н.
Е.Н. Зорина-
Тихонова



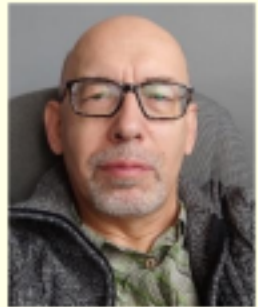
аспирант
А.К. Матюхина



к.х.н.
Н.В. Гоголева



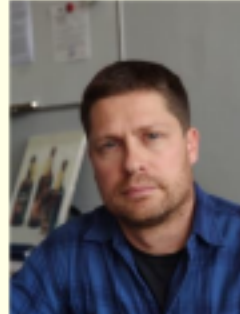
аспирант
К.А. Бабешкин



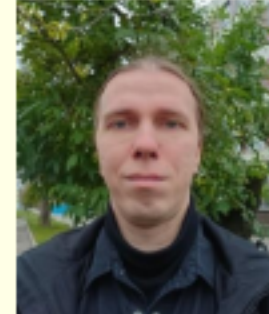
д.х.н.
А.А. Сидоров



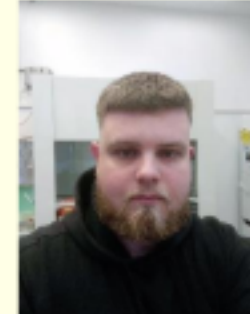
к.х.н.
Н.Н. Ефимов



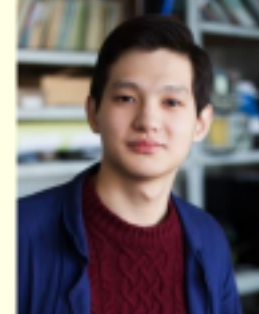
д.х.н.
М.А. Кискин



к.х.н.
И.В. Скабицкий



к.х.н.
М.А. Шмелев



аспирант
П.Н. Васильев



Южный федеральный университет



академик РАН
В.И. Минкин



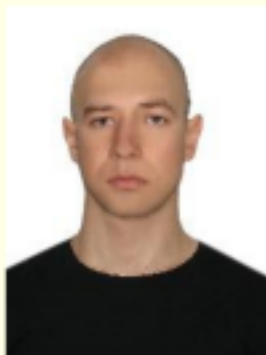
д.х.н.
А.В. Метелица



д.х.н.
Е.П. Ивахненко



д.х.н.
А.Г. Стариков



к.х.н.
П.А. Князев



к.х.н.
Н.И. Омеличkin



д.х.н.
А.А. Старикова



к.х.н.
М.Г. Чегерев



Институт физической химии и электрохимии РАН им. А.Н. Фрумкина



академик РАН
А.Ю. Цивадзе



д.х.н.
А.Г. Мартынов



чл.-корр. РАН
Ю.Г. Горбунова

**Ben-Gurion University of the Negev,
Beer-Sheva, Israel**



Boris Tsukerblat

**Institute of Molecular Sciences,
University of Valencia, Valencia, Spain**



Eugenio Coronado



Modesto Clemente-Juan



к.х.н. А.В. Казакова, к.х.н. Н.Д. Кущ, , к.х.н. И.Е.Кареев,
к.х.н. Н.Г. Спицина, д.х.н. Э.Б. Ягубский, к.т.н. В.П. Бубнов



д.ф.-м.н., профессор
Э.Б.Фельдман



д.ф.-м.н.
О.В. Коплак



д.х.н. Д.В. Конарев, к.х.н. Е.И. Жиляева,
Н.Р. Романенко, к.х.н. М.А. Фараонов,
М.В. Михайленко



д.ф.-м. н., профессор Р.Б. Моргунов,
Р.С. Аллаяров, к.ф.-м.н. Е.И. Куницына,
к.ф.-м. н. А.И. Безверхний, М.В. Бахметьев
к.ф.-м.н. А.Д. Таланцев

Институт проблем химической физики РАН



к.ф.-м.н. В.В. Ткачев, академик РАН С.М. Алдошин, д.х.н., профессор Н.А. Санина,
к.х.н. Н.В. Емельянова, phd Л.Г. Гуцев, д.ф.-м.н. А.В. Палий, к.ф.-м.н. Г.В. Шилов,
к.х.н. Д.В. Корчагин, к.х.н. Е.А. Юрьева